Ein und Ausgabe: Farbmetrisches Drucker-Reflektiv-System FRS09_92a für relativen CIELAB-Buntton $h^* = lab^*h^* = h_{ab}/360 = 162/360 = 0.451$

Daten für jede Farbe:
*lab*tch** und *lab*icu**
Elementar-Bunttontext:
$u^* = g00b$
Kontrastreduzierungsfaktor:
$c_R = 1.0$
Dreiecks-Helligkeit t^*

Daten für Maximalfarbe (Ma):
$LAB^*LAB^*_{Ma}$: 48 −48 16
$LAB^*LCH^*_{Ma}$: 48 52 162
$lab^*rgb^*_{Ma}$: 0.0 1.0 0.0
$lab^*olv^*_{Ma}$: 0.0 1.0 0.41
Dreiecks-Helligkeit t^*

FRS09_92a; adaptierte CIELAB-Daten

	$L^*=L^*_a$	a^*_a	b^*_a	$C^*_{ab,a}$	$h^*_{ab,a}$
O_{Ma}	35.06	60.0	44.0	74.4	36
Y_{Ma}	83.77	−5.16	109.32	109.44	93
L_{Ma}	44.13	−62.66	48.24	79.09	142
C_{Ma}	52.66	−29.13	−31.98	43.27	228
V_{Ma}	14.15	50.3	−59.03	77.57	310
M_{Ma}	37.37	78.64	−33.49	85.48	337
N_{Ma}	8.58	0.0	0.0	0.0	0
W_{Ma}	92.02	0.0	0.0	0.0	0
R_{CIE}	39.92	58.74	27.99	65.07	25
J_{CIE}	81.26	−2.88	71.56	71.62	92
G_{CIE}	52.23	−42.41	13.6	44.55	162
B_{CIE}	30.57	1.41	−46.46	46.49	272

FRS09_92a; adaptierte CIELAB-Daten

	$L^*=L^*_a$	a^*_a	b^*_a	$C^*_{ab,a}$	$h^*_{ab,a}$
r00j	35.47	63.32	30.17	70.15	25
r25j	39.12	54.56	49.45	73.64	42
r50j	50.64	39.15	64.89	75.79	59
r75j	64.01	21.26	82.83	85.52	76
j00g	83.18	−4.37	108.53	108.62	92
j25g	66.73	−29.88	83.06	88.28	110
j50g	54.03	−48.3	63.49	79.78	127
j75g	44.73	−60.32	42.64	73.88	145
g00b	47.59	−49.07	15.74	51.54	162
g25b	49.97	−39.69	−6.71	40.27	190
g50b	51.85	−32.32	−24.34	40.48	217
g75b	46.92	−17.28	−36.01	39.96	244
b00r	37.91	1.28	−42.34	42.37	272
b25r	23.81	30.38	−52.25	60.45	300
b50r	29.52	69.06	−42.13	80.9	329
b75r	36.48	71.47	−3.68	71.57	357

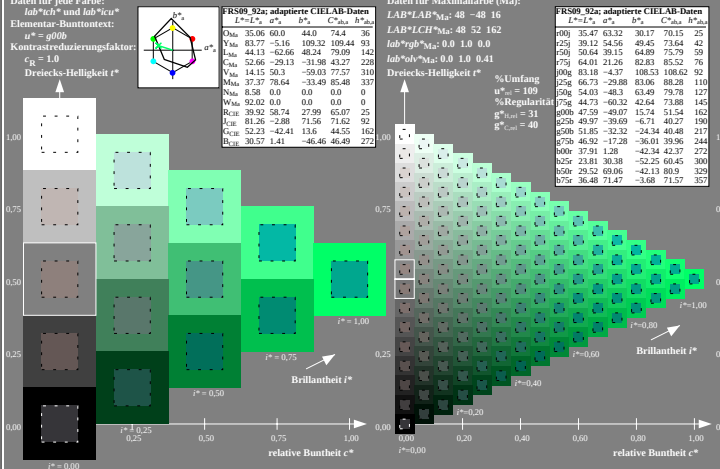

Ein und Ausgabe: Farbmetrisches Drucker-Reflektiv-System FRS09_92a für relativen CIELAB-Buntton $h^* = lab^*h^* = h_{ab}/360 = 190/360 = 0.527$

Daten für jede Farbe:
*lab*tch** und *lab*icu**
Elementar-Bunttontext:
$u^* = g25b$
Kontrastreduzierungsfaktor:
$c_R = 1.0$
Dreiecks-Helligkeit t^*

Daten für Maximalfarbe (Ma):
$LAB^*LAB^*_{Ma}$: 50 −39 −6
$LAB^*LCH^*_{Ma}$: 50 40 190
$lab^*rgb^*_{Ma}$: 0.0 1.0 0.5
$lab^*olv^*_{Ma}$: 0.0 1.0 0.69
Dreiecks-Helligkeit t^*

FRS09_92a; adaptierte CIELAB-Daten

	$L^*=L^*_a$	a^*_a	b^*_a	$C^*_{ab,a}$	$h^*_{ab,a}$
O_{Ma}	35.06	60.0	44.0	74.4	36
Y_{Ma}	83.77	−5.16	109.32	109.44	93
L_{Ma}	44.13	−62.66	48.24	79.09	142
C_{Ma}	52.66	−29.13	−31.98	43.27	228
V_{Ma}	14.15	50.3	−59.03	77.57	310
M_{Ma}	37.37	78.64	−33.49	85.48	337
N_{Ma}	8.58	0.0	0.0	0.0	0
W_{Ma}	92.02	0.0	0.0	0.0	0
R_{CIE}	39.92	58.74	27.99	65.07	25
J_{CIE}	81.26	−2.88	71.56	71.62	92
G_{CIE}	52.23	−42.41	13.6	44.55	162
B_{CIE}	30.57	1.41	−46.46	46.49	272

FRS09_92a; adaptierte CIELAB-Daten

	$L^*=L^*_a$	a^*_a	b^*_a	$C^*_{ab,a}$	$h^*_{ab,a}$
r00j	35.47	63.32	30.17	70.15	25
r25j	39.12	54.56	49.45	73.64	42
r50j	50.64	39.15	64.89	75.79	59
r75j	64.01	21.26	82.83	85.52	76
j00g	83.18	−4.37	108.53	108.62	92
j25g	66.73	−29.88	83.06	88.28	110
j50g	54.03	−48.3	63.49	79.78	127
j75g	44.73	−60.32	42.64	73.88	145
g00b	47.59	−49.07	15.74	51.54	162
g25b	49.97	−39.69	−6.71	40.27	190
g50b	51.85	−32.32	−24.34	40.48	217
g75b	46.92	−17.28	−36.01	39.96	244
b00r	37.91	1.28	−42.34	42.37	272
b25r	23.81	30.38	−52.25	60.45	300
b50r	29.52	69.06	−42.13	80.9	329
b75r	36.48	71.47	−3.68	71.57	357

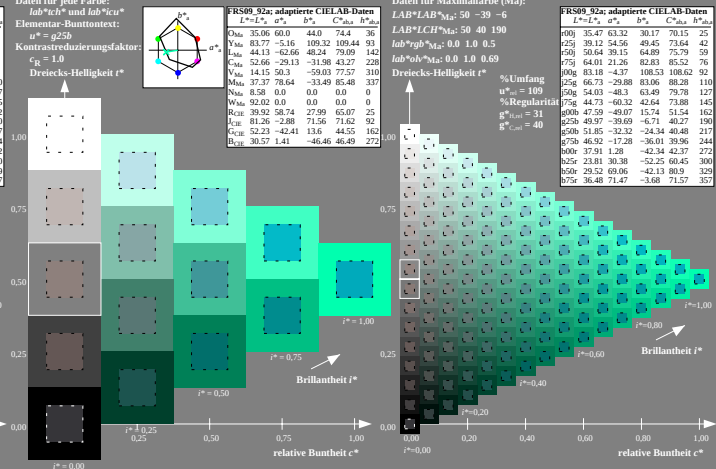

Ein und Ausgabe: Farbmetrisches Drucker-Reflektiv-System FRS09_92a für relativen CIELAB-Buntton $h^* = lab^*h^* = h_{ab}/360 = 217/360 = 0.603$

Daten für jede Farbe:
*lab*tch** und *lab*icu**
Elementar-Bunttontext:
$u^* = g50b$
Kontrastreduzierungsfaktor:
$c_R = 1.0$
Dreiecks-Helligkeit t^*

Daten für Maximalfarbe (Ma):
$LAB^*LAB^*_{Ma}$: 52 −31 −23
$LAB^*LCH^*_{Ma}$: 52 40 217
$lab^*rgb^*_{Ma}$: 0.0 1.0 1.0
$lab^*olv^*_{Ma}$: 0.0 1.0 0.9
Dreiecks-Helligkeit t^*

FRS09_92a; adaptierte CIELAB-Daten

	$L^*=L^*_a$	a^*_a	b^*_a	$C^*_{ab,a}$	$h^*_{ab,a}$
O_{Ma}	35.06	60.0	44.0	74.4	36
Y_{Ma}	83.77	−5.16	109.32	109.44	93
L_{Ma}	44.13	−62.66	48.24	79.09	142
C_{Ma}	52.66	−29.13	−31.98	43.27	228
V_{Ma}	14.15	50.3	−59.03	77.57	310
M_{Ma}	37.37	78.64	−33.49	85.48	337
N_{Ma}	8.58	0.0	0.0	0.0	0
W_{Ma}	92.02	0.0	0.0	0.0	0
R_{CIE}	39.92	58.74	27.99	65.07	25
J_{CIE}	81.26	−2.88	71.56	71.62	92
G_{CIE}	52.23	−42.41	13.6	44.55	162
B_{CIE}	30.57	1.41	−46.46	46.49	272

FRS09_92a; adaptierte CIELAB-Daten

	$L^*=L^*_a$	a^*_a	b^*_a	$C^*_{ab,a}$	$h^*_{ab,a}$
r00j	35.47	63.32	30.17	70.15	25
r25j	39.12	54.56	49.45	73.64	42
r50j	50.64	39.15	64.89	75.79	59
r75j	64.01	21.26	82.83	85.52	76
j00g	83.18	−4.37	108.53	108.62	92
j25g	66.73	−29.88	83.06	88.28	110
j50g	54.03	−48.3	63.49	79.78	127
j75g	44.73	−60.32	42.64	73.88	145
g00b	47.59	−49.07	15.74	51.54	162
g25b	49.97	−39.69	−6.71	40.27	190
g50b	51.85	−32.32	−24.34	40.48	217
g75b	46.92	−17.28	−36.01	39.96	244
b00r	37.91	1.28	−42.34	42.37	272
b25r	23.81	30.38	−52.25	60.45	300
b50r	29.52	69.06	−42.13	80.9	329
b75r	36.48	71.47	−3.68	71.57	357

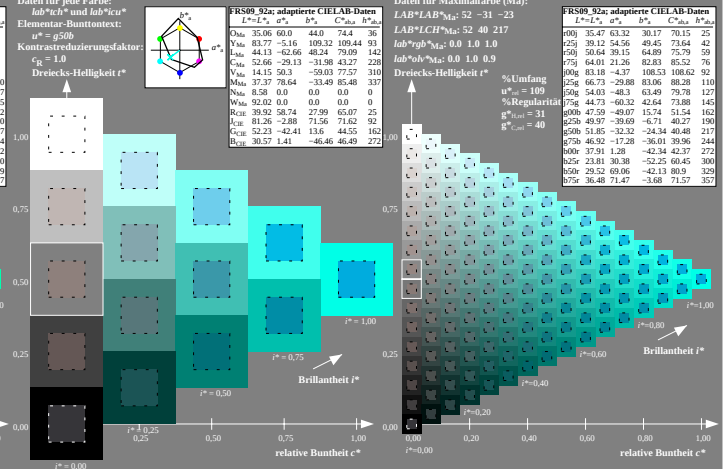

Ein und Ausgabe: Farbmetrisches Drucker-Reflektiv-System FRS09_92a für relativen CIELAB-Buntton $h^* = lab^*h^* = h_{ab}/360 = 244/360 = 0.679$

Daten für jede Farbe:
*lab*tch** und *lab*icu**
Elementar-Bunttontext:
$u^* = g75b$
Kontrastreduzierungsfaktor:
$c_R = 1.0$
Dreiecks-Helligkeit t^*

Daten für Maximalfarbe (Ma):
$LAB^*LAB^*_{Ma}$: 47 −16 −35
$LAB^*LCH^*_{Ma}$: 47 40 244
$lab^*rgb^*_{Ma}$: 0.0 0.5 1.0
$lab^*olv^*_{Ma}$: 0.0 0.85 1.0
Dreiecks-Helligkeit t^*

FRS09_92a; adaptierte CIELAB-Daten

	$L^*=L^*_a$	a^*_a	b^*_a	$C^*_{ab,a}$	$h^*_{ab,a}$
O_{Ma}	35.06	60.0	44.0	74.4	36
Y_{Ma}	83.77	−5.16	109.32	109.44	93
L_{Ma}	44.13	−62.66	48.24	79.09	142
C_{Ma}	52.66	−29.13	−31.98	43.27	228
V_{Ma}	14.15	50.3	−59.03	77.57	310
M_{Ma}	37.37	78.64	−33.49	85.48	337
N_{Ma}	8.58	0.0	0.0	0.0	0
W_{Ma}	92.02	0.0	0.0	0.0	0
R_{CIE}	39.92	58.74	27.99	65.07	25
J_{CIE}	81.26	−2.88	71.56	71.62	92
G_{CIE}	52.23	−42.41	13.6	44.55	162
B_{CIE}	30.57	1.41	−46.46	46.49	272

FRS09_92a; adaptierte CIELAB-Daten

	$L^*=L^*_a$	a^*_a	b^*_a	$C^*_{ab,a}$	$h^*_{ab,a}$
r00j	35.47	63.32	30.17	70.15	25
r25j	39.12	54.56	49.45	73.64	42
r50j	50.64	39.15	64.89	75.79	59
r75j	64.01	21.26	82.83	85.52	76
j00g	83.18	−4.37	108.53	108.62	92
j25g	66.73	−29.88	83.06	88.28	110
j50g	54.03	−48.3	63.49	79.78	127
j75g	44.73	−60.32	42.64	73.88	145
g00b	47.59	−49.07	15.74	51.54	162
g25b	49.97	−39.69	−6.71	40.27	190
g50b	51.85	−32.32	−24.34	40.48	217
g75b	46.92	−17.28	−36.01	39.96	244
b00r	37.91	1.28	−42.34	42.37	272
b25r	23.81	30.38	−52.25	60.45	300
b50r	29.52	69.06	−42.13	80.9	329
b75r	36.48	71.47	−3.68	71.57	357

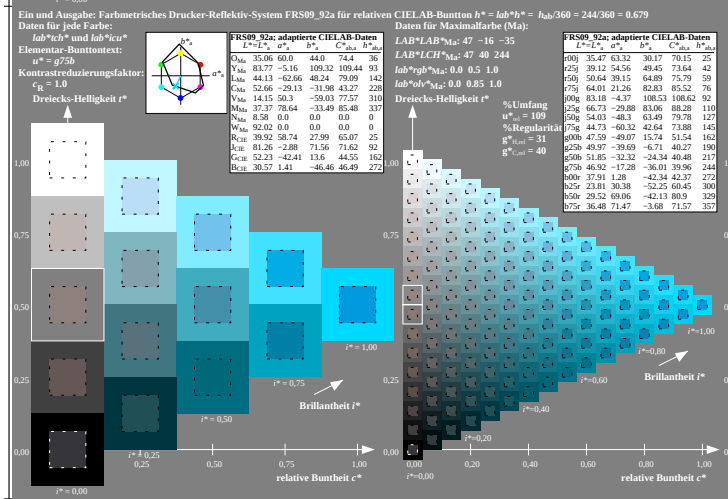

Ein und Ausgabe: Farbmetrisches Drucker-Reflektiv-System FRS09_92a für relativen CIELAB-Buntton $h^* = lab^*h^* = h_{ab}/360 = 272/360 = 0.755$

Daten für jede Farbe:
*lab*tch** und *lab*icu**
Elementar-Bunttontext:
$u^* = b00r$
Kontrastreduzierungsfaktor:
$c_R = 1.0$
Dreiecks-Helligkeit t^*

Daten für Maximalfarbe (Ma):
$LAB^*LAB^*_{Ma}$: 38 1 −41
$LAB^*LCH^*_{Ma}$: 38 42 272
$lab^*rgb^*_{Ma}$: 0.0 0.0 1.0
$lab^*olv^*_{Ma}$: 0.0 0.62 1.0
Dreiecks-Helligkeit t^*

FRS09_92a; adaptierte CIELAB-Daten

	$L^*=L^*_a$	a^*_a	b^*_a	$C^*_{ab,a}$	$h^*_{ab,a}$
O_{Ma}	35.06	60.0	44.0	74.4	36
Y_{Ma}	83.77	−5.16	109.32	109.44	93
L_{Ma}	44.13	−62.66	48.24	79.09	142
C_{Ma}	52.66	−29.13	−31.98	43.27	228
V_{Ma}	14.15	50.3	−59.03	77.57	310
M_{Ma}	37.37	78.64	−33.49	85.48	337
N_{Ma}	8.58	0.0	0.0	0.0	0
W_{Ma}	92.02	0.0	0.0	0.0	0
R_{CIE}	39.92	58.74	27.99	65.07	25
J_{CIE}	81.26	−2.88	71.56	71.62	92
G_{CIE}	52.23	−42.41	13.6	44.55	162
B_{CIE}	30.57	1.41	−46.46	46.49	272

FRS09_92a; adaptierte CIELAB-Daten

	$L^*=L^*_a$	a^*_a	b^*_a	$C^*_{ab,a}$	$h^*_{ab,a}$
r00j	35.47	63.32	30.17	70.15	25
r25j	39.12	54.56	49.45	73.64	42
r50j	50.64	39.15	64.89	75.79	59
r75j	64.01	21.26	82.83	85.52	76
j00g	83.18	−4.37	108.53	108.62	92
j25g	66.73	−29.88	83.06	88.28	110
j50g	54.03	−48.3	63.49	79.78	127
j75g	44.73	−60.32	42.64	73.88	145
g00b	47.59	−49.07	15.74	51.54	162
g25b	49.97	−39.69	−6.71	40.27	190
g50b	51.85	−32.32	−24.34	40.48	217
g75b	46.92	−17.28	−36.01	39.96	244
b00r	37.91	1.28	−42.34	42.37	272
b25r	23.81	30.38	−52.25	60.45	300
b50r	29.52	69.06	−42.13	80.9	329
b75r	36.48	71.47	−3.68	71.57	357

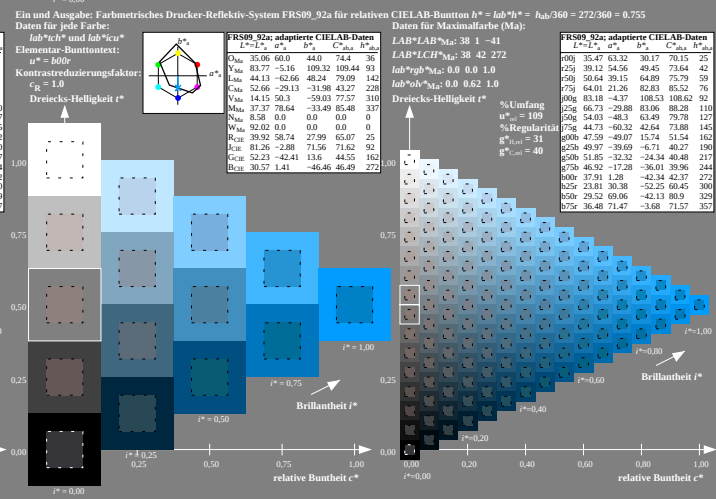

Ein und Ausgabe: Farbmetrisches Drucker-Reflektiv-System FRS09_92a für relativen CIELAB-Buntton $h^* = lab^*h^* = h_{ab}/360 = 300/360 = 0.834$

Daten für jede Farbe:
*lab*tch** und *lab*icu**
Elementar-Bunttontext:
$u^* = b25r$
Kontrastreduzierungsfaktor:
$c_R = 1.0$
Dreiecks-Helligkeit t^*

Daten für Maximalfarbe (Ma):
$LAB^*LAB^*_{Ma}$: 24 30 −51
$LAB^*LCH^*_{Ma}$: 24 60 300
$lab^*rgb^*_{Ma}$: 0.5 0.0 1.0
$lab^*olv^*_{Ma}$: 0.0 0.25 1.0
Dreiecks-Helligkeit t^*

FRS09_92a; adaptierte CIELAB-Daten

	$L^*=L^*_a$	a^*_a	b^*_a	$C^*_{ab,a}$	$h^*_{ab,a}$
O_{Ma}	35.06	60.0	44.0	74.4	36
Y_{Ma}	83.77	−5.16	109.32	109.44	93
L_{Ma}	44.13	−62.66	48.24	79.09	142
C_{Ma}	52.66	−29.13	−31.98	43.27	228
V_{Ma}	14.15	50.3	−59.03	77.57	310
M_{Ma}	37.37	78.64	−33.49	85.48	337
N_{Ma}	8.58	0.0	0.0	0.0	0
W_{Ma}	92.02	0.0	0.0	0.0	0
R_{CIE}	39.92	58.74	27.99	65.07	25
J_{CIE}	81.26	−2.88	71.56	71.62	92
G_{CIE}	52.23	−42.41	13.6	44.55	162
B_{CIE}	30.57	1.41	−46.46	46.49	272

FRS09_92a; adaptierte CIELAB-Daten

	$L^*=L^*_a$	a^*_a	b^*_a	$C^*_{ab,a}$	$h^*_{ab,a}$
r00j	35.47	63.32	30.17	70.15	25
r25j	39.12	54.56	49.45	73.64	42
r50j	50.64	39.15	64.89	75.79	59
r75j	64.01	21.26	82.83	85.52	76
j00g	83.18	−4.37	108.53	108.62	92
j25g	66.73	−29.88	83.06	88.28	110
j50g	54.03	−48.3	63.49	79.78	127
j75g	44.73	−60.32	42.64	73.88	145
g00b	47.59	−49.07	15.74	51.54	162
g25b	49.97	−39.69	−6.71	40.27	190
g50b	51.85	−32.32	−24.34	40.48	217
g75b	46.92	−17.28	−36.01	39.96	244
b00r	37.91	1.28	−42.34	42.37	272
b25r	23.81	30.38	−52.25	60.45	300
b50r	29.52	69.06	−42.13	80.9	329
b75r	36.48	71.47	−3.68	71.57	357

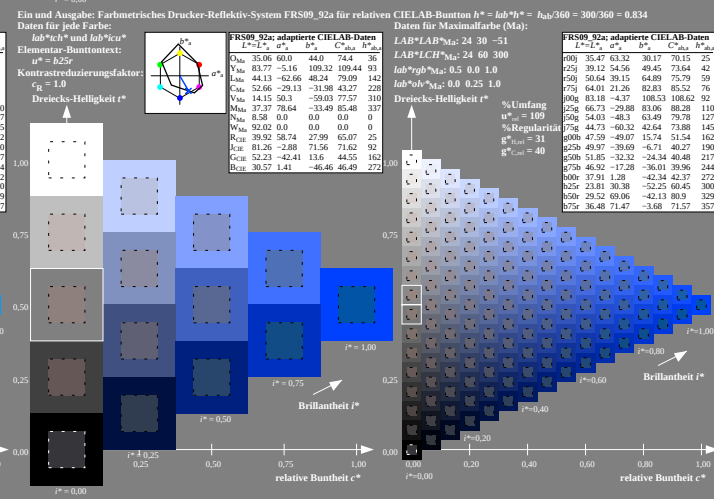

Ein und Ausgabe: Farbmetrisches Drucker-Reflektiv-System FRS09_92a für relativen CIELAB-Buntton $h^* = lab^*h^* = h_{ab}/360 = 329/360 = 0.913$

Daten für jede Farbe:
*lab*tch** und *lab*icu**
Elementar-Bunttontext:
$u^* = b50r$
Kontrastreduzierungsfaktor:
$c_R = 1.0$
Dreiecks-Helligkeit t^*

Daten für Maximalfarbe (Ma):
$LAB^*LAB^*_{Ma}$: 30 69 −41
$LAB^*LCH^*_{Ma}$: 30 81 329
$lab^*rgb^*_{Ma}$: 1.0 0.0 1.0
$lab^*olv^*_{Ma}$: 0.66 0.0 1.0
Dreiecks-Helligkeit t^*

FRS09_92a; adaptierte CIELAB-Daten

	$L^*=L^*_a$	a^*_a	b^*_a	$C^*_{ab,a}$	$h^*_{ab,a}$
O_{Ma}	35.06	60.0	44.0	74.4	36
Y_{Ma}	83.77	−5.16	109.32	109.44	93
L_{Ma}	44.13	−62.66	48.24	79.09	142
C_{Ma}	52.66	−29.13	−31.98	43.27	228
V_{Ma}	14.15	50.3	−59.03	77.57	310
M_{Ma}	37.37	78.64	−33.49	85.48	337
N_{Ma}	8.58	0.0	0.0	0.0	0
W_{Ma}	92.02	0.0	0.0	0.0	0
R_{CIE}	39.92	58.74	27.99	65.07	25
J_{CIE}	81.26	−2.88	71.56	71.62	92
G_{CIE}	52.23	−42.41	13.6	44.55	162
B_{CIE}	30.57	1.41	−46.46	46.49	272

FRS09_92a; adaptierte CIELAB-Daten

	$L^*=L^*_a$	a^*_a	b^*_a	$C^*_{ab,a}$	$h^*_{ab,a}$
r00j	35.47	63.32	30.17	70.15	25
r25j	39.12	54.56	49.45	73.64	42
r50j	50.64	39.15	64.89	75.79	59
r75j	64.01	21.26	82.83	85.52	76
j00g	83.18	−4.37	108.53	108.62	92
j25g	66.73	−29.88	83.06	88.28	110
j50g	54.03	−48.3	63.49	79.78	127
j75g	44.73	−60.32	42.64	73.88	145
g00b	47.59	−49.07	15.74	51.54	162
g25b	49.97	−39.69	−6.71	40.27	190
g50b	51.85	−32.32	−24.34	40.48	217
g75b	46.92	−17.28	−36.01	39.96	244
b00r	37.91	1.28	−42.34	42.37	272
b25r	23.81	30.38	−52.25	60.45	300
b50r	29.52	69.06	−42.13	80.9	329
b75r	36.48	71.47	−3.68	71.57	357

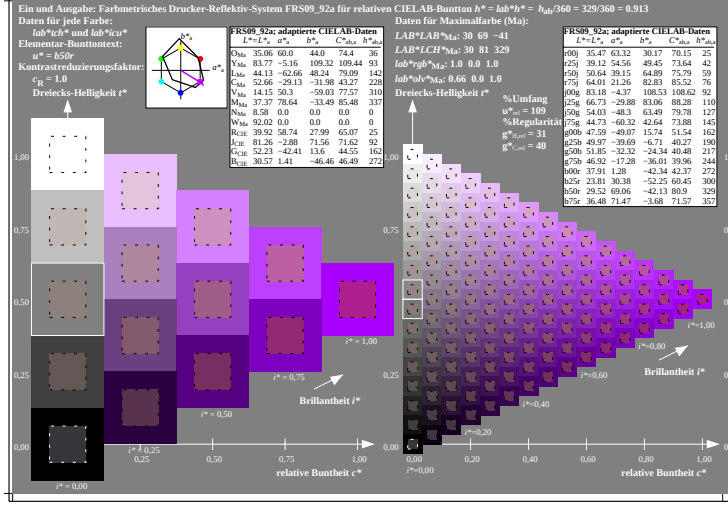

Ein und Ausgabe: Farbmetrisches Drucker-Reflektiv-System FRS09_92a für relativen CIELAB-Buntton $h^* = lab^*h^* = h_{ab}/360 = 357/360 = 0.992$

Daten für jede Farbe:
*lab*tch** und *lab*icu**
Elementar-Bunttontext:
$u^* = b75r$
Kontrastreduzierungsfaktor:
$c_R = 1.0$
Dreiecks-Helligkeit t^*

Daten für Maximalfarbe (Ma):
$LAB^*LAB^*_{Ma}$: 36 71 −3
$LAB^*LCH^*_{Ma}$: 36 72 357
$lab^*rgb^*_{Ma}$: 1.0 0.0 0.5
$lab^*olv^*_{Ma}$: 1.0 0.0 0.62
Dreiecks-Helligkeit t^*

FRS09_92a; adaptierte CIELAB-Daten

	$L^*=L^*_a$	a^*_a	b^*_a	$C^*_{ab,a}$	$h^*_{ab,a}$
O_{Ma}	35.06	60.0	44.0	74.4	36
Y_{Ma}	83.77	−5.16	109.32	109.44	93
L_{Ma}	44.13	−62.66	48.24	79.09	142
C_{Ma}	52.66	−29.13	−31.98	43.27	228
V_{Ma}	14.15	50.3	−59.03	77.57	310
M_{Ma}	37.37	78.64	−33.49	85.48	337
N_{Ma}	8.58	0.0	0.0	0.0	0
W_{Ma}	92.02	0.0	0.0	0.0	0
R_{CIE}	39.92	58.74	27.99	65.07	25
J_{CIE}	81.26	−2.88	71.56	71.62	92
G_{CIE}	52.23	−42.41	13.6	44.55	162
B_{CIE}	30.57	1.41	−46.46	46.49	272

FRS09_92a; adaptierte CIELAB-Daten

	$L^*=L^*_a$	a^*_a	b^*_a	$C^*_{ab,a}$	$h^*_{ab,a}$
r00j	35.47	63.32	30.17	70.15	25
r25j	39.12	54.56	49.45	73.64	42
r50j	50.64	39.15	64.89	75.79	59
r75j	64.01	21.26	82.83	85.52	76
j00g	83.18	−4.37	108.53	108.62	92
j25g	66.73	−29.88	83.06	88.28	110
j50g	54.03	−48.3	63.49	79.78	127
j75g	44.73	−60.32	42.64	73.88	145
g00b	47.59	−49.07	15.74	51.54	162
g25b	49.97	−39.69	−6.71	40.27	190
g50b	51.85	−32.32	−24.34	40.48	217
g75b	46.92	−17.28	−36.01	39.96	244
b00r	37.91	1.28	−42.34	42.37	272
b25r	23.81	30.38	−52.25	60.45	300
b50r	29.52	69.06	−42.13	80.9	329
b75r	36.48	71.47	−3.68	71.57	357

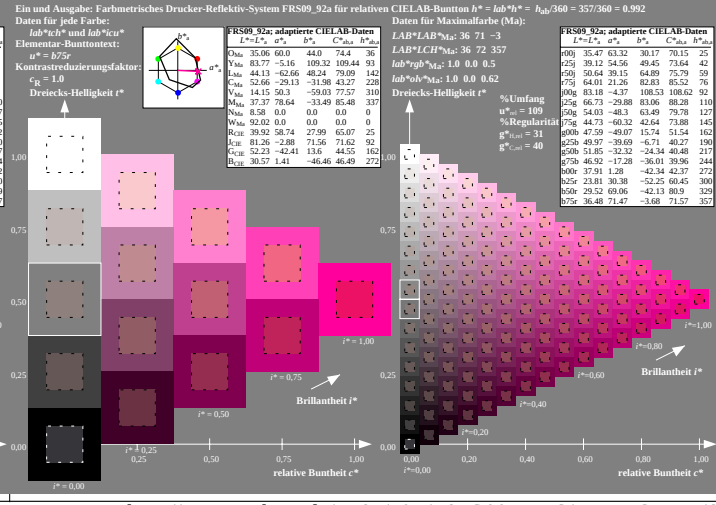

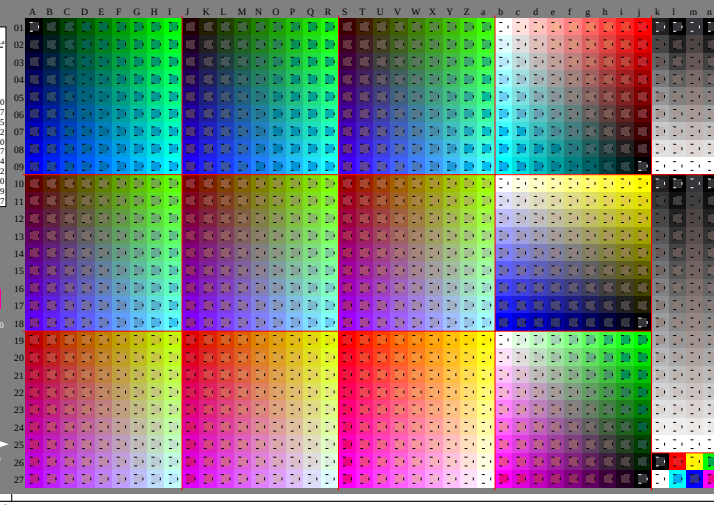

Ein und Ausgabe: Farbmetrisches Drucker-Reflektiv-System FRS09_92a für relativen CIELAB-Buntton $h^* = lab^*h^* = h_{ab}/360 = 162/360 = 0.451$

Daten für jede Farbe:
*lab*tch** und *lab*icu**
Elementar-Bunttontext:
u = g00b*
Kontrastreduzierungsfaktor:
$c_R = 1.0$
Dreiecks-Helligkeit t^*

Daten für Maximalfarbe (Ma):
$LAB^*LAB^*_{Ma}$: 48 −48 16
$LAB^*LCH^*_{Ma}$: 48 52 162
$lab^*rgb^*_{Ma}$: 0.0 1.0 0.0
$lab^*olv^*_{Ma}$: 0.0 1.0 0.41
Dreiecks-Helligkeit t^*

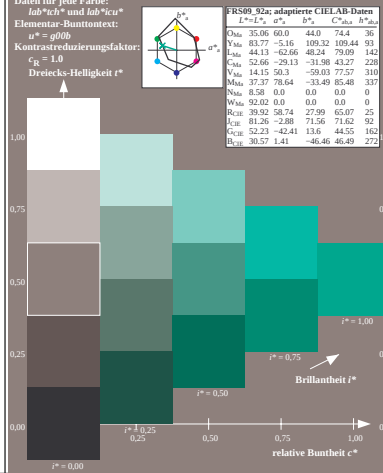

FRS09_92a; adaptierte CIELAB-Daten

	$L^*=L^*_a$	a^*_a	b^*_a	$C^*_{ab,a}$	$h^*_{ab,a}$
O_{Ma}	35.06	60.0	44.0	74.4	36
Y_{Ma}	83.77	−5.16	109.32	109.44	93
L_{Ma}	44.13	−62.66	48.24	79.09	142
C_{Ma}	52.66	−29.13	−31.98	43.27	228
V_{Ma}	14.15	50.3	−59.03	77.57	310
M_{Ma}	37.37	78.64	−33.49	85.48	337
N_{Ma}	8.58	0.0	0.0	0.0	0
W_{Ma}	92.02	0.0	0.0	0.0	0
R_{CIE}	39.92	58.74	27.99	65.07	25
J_{CIE}	81.26	−2.88	71.56	71.62	92
G_{CIE}	52.23	−42.41	13.6	44.55	162
B_{CIE}	30.57	1.41	−46.46	46.49	272

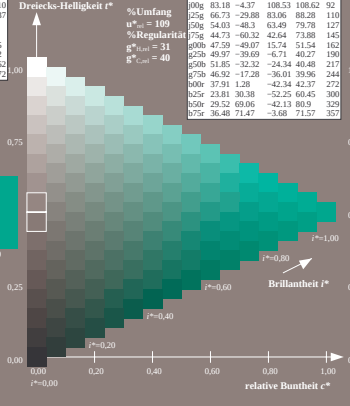

FRS09_92a; adaptierte CIELAB-Daten

	$L^*=L^*_a$	a^*_a	b^*_a	$C^*_{ab,a}$	$h^*_{ab,a}$
r00	35.47	63.32	30.17	70.15	25
r25j	39.12	54.56	49.45	73.64	42
r50j	50.64	39.15	64.89	75.79	59
r75j	64.01	21.26	82.83	85.52	76
j00g	83.18	−4.37	108.53	108.62	92
j25g	66.73	−29.88	83.06	88.28	110
j50g	54.03	−48.3	63.49	79.78	127
j75g	44.73	−60.32	42.64	73.88	145
g00b	47.59	−49.07	15.74	51.54	162
g25b	49.97	−39.69	−6.71	40.27	190
g50b	51.85	−32.32	−24.34	40.48	217
g75b	46.92	−17.28	−36.01	39.96	244
b00r	37.91	1.28	−42.34	42.37	272
b25r	23.81	30.38	−52.25	60.45	300
b50r	29.52	69.06	−42.13	80.9	329
b75r	36.48	71.47	−3.68	71.57	357

Ein und Ausgabe: Farbmetrisches Drucker-Reflektiv-System FRS09_92a für relativen CIELAB-Buntton $h^* = lab^*h^* = h_{ab}/360 = 190/360 = 0.527$

Daten für jede Farbe:
*lab*tch** und *lab*icu**
Elementar-Bunttontext:
u = g25b*
Kontrastreduzierungsfaktor:
$c_R = 1.0$
Dreiecks-Helligkeit t^*

Daten für Maximalfarbe (Ma):
$LAB^*LAB^*_{Ma}$: 50 −39 −6
$LAB^*LCH^*_{Ma}$: 50 40 190
$lab^*rgb^*_{Ma}$: 0.0 1.0 0.5
$lab^*olv^*_{Ma}$: 0.0 1.0 0.69
Dreiecks-Helligkeit t^*

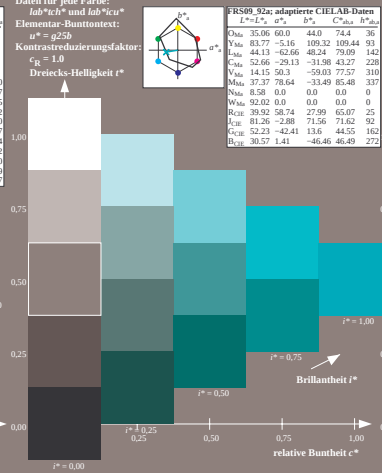

FRS09_92a; adaptierte CIELAB-Daten

	$L^*=L^*_a$	a^*_a	b^*_a	$C^*_{ab,a}$	$h^*_{ab,a}$
O_{Ma}	35.06	60.0	44.0	74.4	36
Y_{Ma}	83.77	−5.16	109.32	109.44	93
L_{Ma}	44.13	−62.66	48.24	79.09	142
C_{Ma}	52.66	−29.13	−31.98	43.27	228
V_{Ma}	14.15	50.3	−59.03	77.57	310
M_{Ma}	37.37	78.64	−33.49	85.48	337
N_{Ma}	8.58	0.0	0.0	0.0	0
W_{Ma}	92.02	0.0	0.0	0.0	0
R_{CIE}	39.92	58.74	27.99	65.07	25
J_{CIE}	81.26	−2.88	71.56	71.62	92
G_{CIE}	52.23	−42.41	13.6	44.55	162
B_{CIE}	30.57	1.41	−46.46	46.49	272

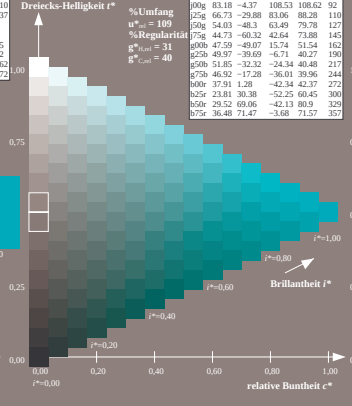

FRS09_92a; adaptierte CIELAB-Daten

	$L^*=L^*_a$	a^*_a	b^*_a	$C^*_{ab,a}$	$h^*_{ab,a}$
r00	35.47	63.32	30.17	70.15	25
r25j	39.12	54.56	49.45	73.64	42
r50j	50.64	39.15	64.89	75.79	59
r75j	64.01	21.26	82.83	85.52	76
j00g	83.18	−4.37	108.53	108.62	92
j25g	66.73	−29.88	83.06	88.28	110
j50g	54.03	−48.3	63.49	79.78	127
j75g	44.73	−60.32	42.64	73.88	145
g00b	47.59	−49.07	15.74	51.54	162
g25b	49.97	−39.69	−6.71	40.27	190
g50b	51.85	−32.32	−24.34	40.48	217
g75b	46.92	−17.28	−36.01	39.96	244
b00r	37.91	1.28	−42.34	42.37	272
b25r	23.81	30.38	−52.25	60.45	300
b50r	29.52	69.06	−42.13	80.9	329
b75r	36.48	71.47	−3.68	71.57	357

Ein und Ausgabe: Farbmetrisches Drucker-Reflektiv-System FRS09_92a für relativen CIELAB-Buntton $h^* = lab^*h^* = h_{ab}/360 = 217/360 = 0.603$

Daten für jede Farbe:
*lab*tch** und *lab*icu**
Elementar-Bunttontext:
u = g50b*
Kontrastreduzierungsfaktor:
$c_R = 1.0$
Dreiecks-Helligkeit t^*

Daten für Maximalfarbe (Ma):
$LAB^*LAB^*_{Ma}$: 52 −31 −23
$LAB^*LCH^*_{Ma}$: 52 40 217
$lab^*rgb^*_{Ma}$: 0.0 1.0 1.0
$lab^*olv^*_{Ma}$: 0.0 1.0 0.9
Dreiecks-Helligkeit t^*

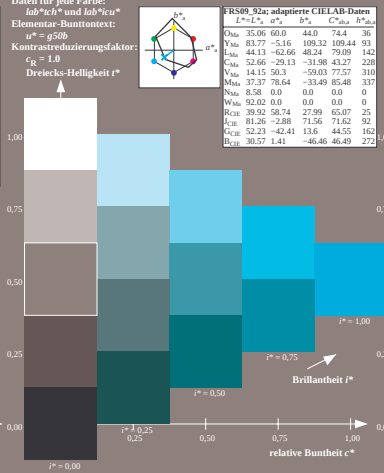

FRS09_92a; adaptierte CIELAB-Daten

	$L^*=L^*_a$	a^*_a	b^*_a	$C^*_{ab,a}$	$h^*_{ab,a}$
O_{Ma}	35.06	60.0	44.0	74.4	36
Y_{Ma}	83.77	−5.16	109.32	109.44	93
L_{Ma}	44.13	−62.66	48.24	79.09	142
C_{Ma}	52.66	−29.13	−31.98	43.27	228
V_{Ma}	14.15	50.3	−59.03	77.57	310
M_{Ma}	37.37	78.64	−33.49	85.48	337
N_{Ma}	8.58	0.0	0.0	0.0	0
W_{Ma}	92.02	0.0	0.0	0.0	0
R_{CIE}	39.92	58.74	27.99	65.07	25
J_{CIE}	81.26	−2.88	71.56	71.62	92
G_{CIE}	52.23	−42.41	13.6	44.55	162
B_{CIE}	30.57	1.41	−46.46	46.49	272

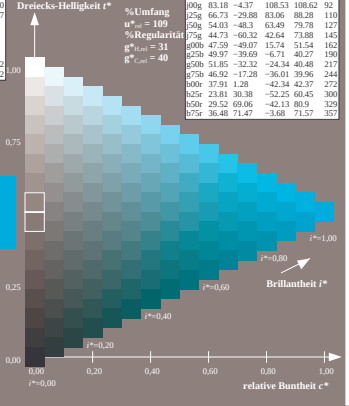

FRS09_92a; adaptierte CIELAB-Daten

	$L^*=L^*_a$	a^*_a	b^*_a	$C^*_{ab,a}$	$h^*_{ab,a}$
r00	35.47	63.32	30.17	70.15	25
r25j	39.12	54.56	49.45	73.64	42
r50j	50.64	39.15	64.89	75.79	59
r75j	64.01	21.26	82.83	85.52	76
j00g	83.18	−4.37	108.53	108.62	92
j25g	66.73	−29.88	83.06	88.28	110
j50g	54.03	−48.3	63.49	79.78	127
j75g	44.73	−60.32	42.64	73.88	145
g00b	47.59	−49.07	15.74	51.54	162
g25b	49.97	−39.69	−6.71	40.27	190
g50b	51.85	−32.32	−24.34	40.48	217
g75b	46.92	−17.28	−36.01	39.96	244
b00r	37.91	1.28	−42.34	42.37	272
b25r	23.81	30.38	−52.25	60.45	300
b50r	29.52	69.06	−42.13	80.9	329
b75r	36.48	71.47	−3.68	71.57	357

Ein und Ausgabe: Farbmetrisches Drucker-Reflektiv-System FRS09_92a für relativen CIELAB-Buntton $h^* = lab^*h^* = h_{ab}/360 = 244/360 = 0.679$

Daten für jede Farbe:
*lab*tch** und *lab*icu**
Elementar-Bunttontext:
u = g75b*
Kontrastreduzierungsfaktor:
$c_R = 1.0$
Dreiecks-Helligkeit t^*

Daten für Maximalfarbe (Ma):
$LAB^*LAB^*_{Ma}$: 47 −16 −35
$LAB^*LCH^*_{Ma}$: 47 40 244
$lab^*rgb^*_{Ma}$: 0.0 0.5 1.0
$lab^*olv^*_{Ma}$: 0.0 0.85 1.0
Dreiecks-Helligkeit t^*

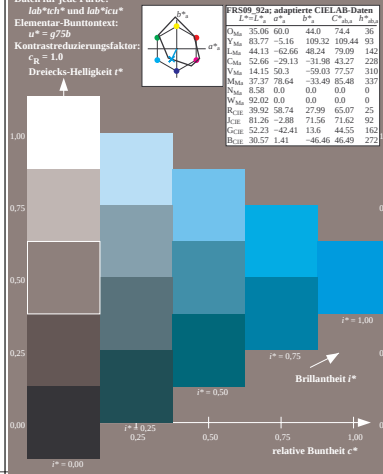

FRS09_92a; adaptierte CIELAB-Daten

	$L^*=L^*_a$	a^*_a	b^*_a	$C^*_{ab,a}$	$h^*_{ab,a}$
O_{Ma}	35.06	60.0	44.0	74.4	36
Y_{Ma}	83.77	−5.16	109.32	109.44	93
L_{Ma}	44.13	−62.66	48.24	79.09	142
C_{Ma}	52.66	−29.13	−31.98	43.27	228
V_{Ma}	14.15	50.3	−59.03	77.57	310
M_{Ma}	37.37	78.64	−33.49	85.48	337
N_{Ma}	8.58	0.0	0.0	0.0	0
W_{Ma}	92.02	0.0	0.0	0.0	0
R_{CIE}	39.92	58.74	27.99	65.07	25
J_{CIE}	81.26	−2.88	71.56	71.62	92
G_{CIE}	52.23	−42.41	13.6	44.55	162
B_{CIE}	30.57	1.41	−46.46	46.49	272

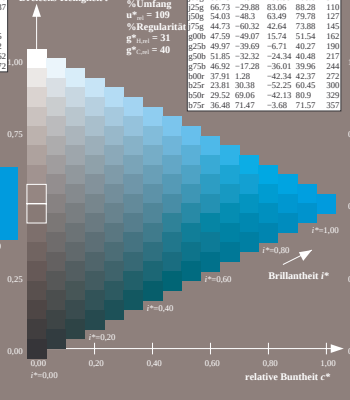

FRS09_92a; adaptierte CIELAB-Daten

	$L^*=L^*_a$	a^*_a	b^*_a	$C^*_{ab,a}$	$h^*_{ab,a}$
r00	35.47	63.32	30.17	70.15	25
r25j	39.12	54.56	49.45	73.64	42
r50j	50.64	39.15	64.89	75.79	59
r75j	64.01	21.26	82.83	85.52	76
j00g	83.18	−4.37	108.53	108.62	92
j25g	66.73	−29.88	83.06	88.28	110
j50g	54.03	−48.3	63.49	79.78	127
j75g	44.73	−60.32	42.64	73.88	145
g00b	47.59	−49.07	15.74	51.54	162
g25b	49.97	−39.69	−6.71	40.27	190
g50b	51.85	−32.32	−24.34	40.48	217
g75b	46.92	−17.28	−36.01	39.96	244
b00r	37.91	1.28	−42.34	42.37	272
b25r	23.81	30.38	−52.25	60.45	300
b50r	29.52	69.06	−42.13	80.9	329
b75r	36.48	71.47	−3.68	71.57	357

Ein und Ausgabe: Farbmetrisches Drucker-Reflektiv-System FRS09_92a für relativen CIELAB-Buntton $h^* = lab^*h^* = h_{ab}/360 = 272/360 = 0.755$

Daten für jede Farbe:
*lab*tch** und *lab*icu**
Elementar-Bunttontext:
u = b00r*
Kontrastreduzierungsfaktor:
$c_R = 1.0$
Dreiecks-Helligkeit t^*

Daten für Maximalfarbe (Ma):
$LAB^*LAB^*_{Ma}$: 38 1 −41
$LAB^*LCH^*_{Ma}$: 38 42 272
$lab^*rgb^*_{Ma}$: 0.0 0.0 1.0
$lab^*olv^*_{Ma}$: 0.0 0.62 1.0
Dreiecks-Helligkeit t^*

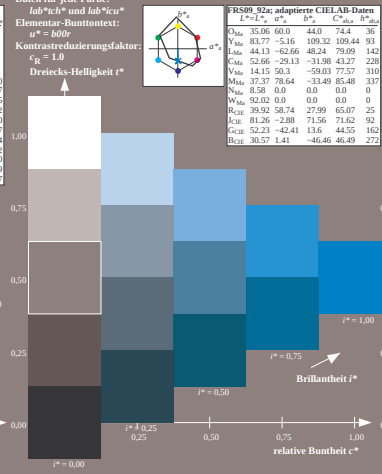

FRS09_92a; adaptierte CIELAB-Daten

	$L^*=L^*_a$	a^*_a	b^*_a	$C^*_{ab,a}$	$h^*_{ab,a}$
O_{Ma}	35.06	60.0	44.0	74.4	36
Y_{Ma}	83.77	−5.16	109.32	109.44	93
L_{Ma}	44.13	−62.66	48.24	79.09	142
C_{Ma}	52.66	−29.13	−31.98	43.27	228
V_{Ma}	14.15	50.3	−59.03	77.57	310
M_{Ma}	37.37	78.64	−33.49	85.48	337
N_{Ma}	8.58	0.0	0.0	0.0	0
W_{Ma}	92.02	0.0	0.0	0.0	0
R_{CIE}	39.92	58.74	27.99	65.07	25
J_{CIE}	81.26	−2.88	71.56	71.62	92
G_{CIE}	52.23	−42.41	13.6	44.55	162
B_{CIE}	30.57	1.41	−46.46	46.49	272

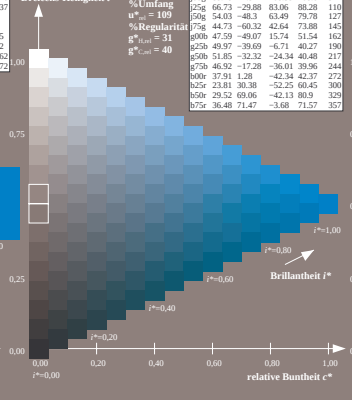

FRS09_92a; adaptierte CIELAB-Daten

	$L^*=L^*_a$	a^*_a	b^*_a	$C^*_{ab,a}$	$h^*_{ab,a}$
r00	35.47	63.32	30.17	70.15	25
r25j	39.12	54.56	49.45	73.64	42
r50j	50.64	39.15	64.89	75.79	59
r75j	64.01	21.26	82.83	85.52	76
j00g	83.18	−4.37	108.53	108.62	92
j25g	66.73	−29.88	83.06	88.28	110
j50g	54.03	−48.3	63.49	79.78	127
j75g	44.73	−60.32	42.64	73.88	145
g00b	47.59	−49.07	15.74	51.54	162
g25b	49.97	−39.69	−6.71	40.27	190
g50b	51.85	−32.32	−24.34	40.48	217
g75b	46.92	−17.28	−36.01	39.96	244
b00r	37.91	1.28	−42.34	42.37	272
b25r	23.81	30.38	−52.25	60.45	300
b50r	29.52	69.06	−42.13	80.9	329
b75r	36.48	71.47	−3.68	71.57	357

Ein und Ausgabe: Farbmetrisches Drucker-Reflektiv-System FRS09_92a für relativen CIELAB-Buntton $h^* = lab^*h^* = h_{ab}/360 = 300/360 = 0.834$

Daten für jede Farbe:
*lab*tch** und *lab*icu**
Elementar-Bunttontext:
u = b25r*
Kontrastreduzierungsfaktor:
$c_R = 1.0$
Dreiecks-Helligkeit t^*

Daten für Maximalfarbe (Ma):
$LAB^*LAB^*_{Ma}$: 24 30 −51
$LAB^*LCH^*_{Ma}$: 24 60 300
$lab^*rgb^*_{Ma}$: 0.5 0.0 1.0
$lab^*olv^*_{Ma}$: 0.0 0.25 1.0
Dreiecks-Helligkeit t^*

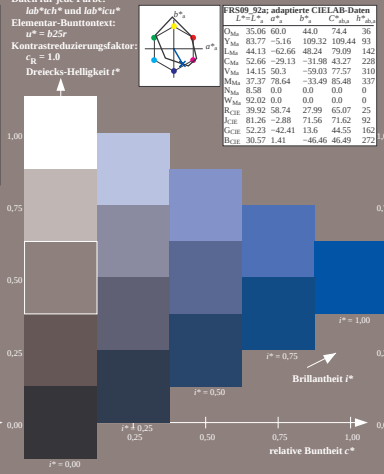

FRS09_92a; adaptierte CIELAB-Daten

	$L^*=L^*_a$	a^*_a	b^*_a	$C^*_{ab,a}$	$h^*_{ab,a}$
O_{Ma}	35.06	60.0	44.0	74.4	36
Y_{Ma}	83.77	−5.16	109.32	109.44	93
L_{Ma}	44.13	−62.66	48.24	79.09	142
C_{Ma}	52.66	−29.13	−31.98	43.27	228
V_{Ma}	14.15	50.3	−59.03	77.57	310
M_{Ma}	37.37	78.64	−33.49	85.48	337
N_{Ma}	8.58	0.0	0.0	0.0	0
W_{Ma}	92.02	0.0	0.0	0.0	0
R_{CIE}	39.92	58.74	27.99	65.07	25
J_{CIE}	81.26	−2.88	71.56	71.62	92
G_{CIE}	52.23	−42.41	13.6	44.55	162
B_{CIE}	30.57	1.41	−46.46	46.49	272

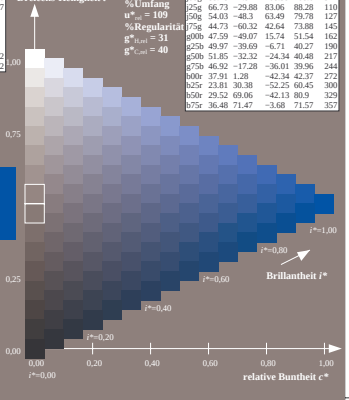

FRS09_92a; adaptierte CIELAB-Daten

	$L^*=L^*_a$	a^*_a	b^*_a	$C^*_{ab,a}$	$h^*_{ab,a}$
r00	35.47	63.32	30.17	70.15	25
r25j	39.12	54.56	49.45	73.64	42
r50j	50.64	39.15	64.89	75.79	59
r75j	64.01	21.26	82.83	85.52	76
j00g	83.18	−4.37	108.53	108.62	92
j25g	66.73	−29.88	83.06	88.28	110
j50g	54.03	−48.3	63.49	79.78	127
j75g	44.73	−60.32	42.64	73.88	145
g00b	47.59	−49.07	15.74	51.54	162
g25b	49.97	−39.69	−6.71	40.27	190
g50b	51.85	−32.32	−24.34	40.48	217
g75b	46.92	−17.28	−36.01	39.96	244
b00r	37.91	1.28	−42.34	42.37	272
b25r	23.81	30.38	−52.25	60.45	300
b50r	29.52	69.06	−42.13	80.9	329
b75r	36.48	71.47	−3.68	71.57	357

Ein und Ausgabe: Farbmetrisches Drucker-Reflektiv-System FRS09_92a für relativen CIELAB-Buntton $h^* = lab^*h^* = h_{ab}/360 = 329/360 = 0.913$

Daten für jede Farbe:
*lab*tch** und *lab*icu**
Elementar-Bunttontext:
u = b50r*
Kontrastreduzierungsfaktor:
$c_R = 1.0$
Dreiecks-Helligkeit t^*

Daten für Maximalfarbe (Ma):
$LAB^*LAB^*_{Ma}$: 30 69 −41
$LAB^*LCH^*_{Ma}$: 30 81 329
$lab^*rgb^*_{Ma}$: 1.0 0.0 1.0
$lab^*olv^*_{Ma}$: 0.66 0.0 1.0
Dreiecks-Helligkeit t^*

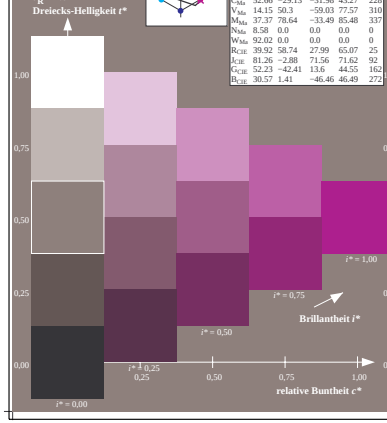

FRS09_92a; adaptierte CIELAB-Daten

	$L^*=L^*_a$	a^*_a	b^*_a	$C^*_{ab,a}$	$h^*_{ab,a}$
O_{Ma}	35.06	60.0	44.0	74.4	36
Y_{Ma}	83.77	−5.16	109.32	109.44	93
L_{Ma}	44.13	−62.66	48.24	79.09	142
C_{Ma}	52.66	−29.13	−31.98	43.27	228
V_{Ma}	14.15	50.3	−59.03	77.57	310
M_{Ma}	37.37	78.64	−33.49	85.48	337
N_{Ma}	8.58	0.0	0.0	0.0	0
W_{Ma}	92.02	0.0	0.0	0.0	0
R_{CIE}	39.92	58.74	27.99	65.07	25
J_{CIE}	81.26	−2.88	71.56	71.62	92
G_{CIE}	52.23	−42.41	13.6	44.55	162
B_{CIE}	30.57	1.41	−46.46	46.49	272

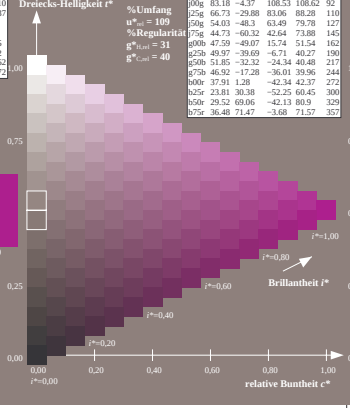

FRS09_92a; adaptierte CIELAB-Daten

	$L^*=L^*_a$	a^*_a	b^*_a	$C^*_{ab,a}$	$h^*_{ab,a}$
r00	35.47	63.32	30.17	70.15	25
r25j	39.12	54.56	49.45	73.64	42
r50j	50.64	39.15	64.89	75.79	59
r75j	64.01	21.26	82.83	85.52	76
j00g	83.18	−4.37	108.53	108.62	92
j25g	66.73	−29.88	83.06	88.28	110
j50g	54.03	−48.3	63.49	79.78	127
j75g	44.73	−60.32	42.64	73.88	145
g00b	47.59	−49.07	15.74	51.54	162
g25b	49.97	−39.69	−6.71	40.27	190
g50b	51.85	−32.32	−24.34	40.48	217
g75b	46.92	−17.28	−36.01	39.96	244
b00r	37.91	1.28	−42.34	42.37	272
b25r	23.81	30.38	−52.25	60.45	300
b50r	29.52	69.06	−42.13	80.9	329
b75r	36.48	71.47	−3.68	71.57	357

Ein und Ausgabe: Farbmetrisches Drucker-Reflektiv-System FRS09_92a für relativen CIELAB-Buntton $h^* = lab^*h^* = h_{ab}/360 = 357/360 = 0.992$

Daten für jede Farbe:
*lab*tch** und *lab*icu**
Elementar-Bunttontext:
u = b75r*
Kontrastreduzierungsfaktor:
$c_R = 1.0$
Dreiecks-Helligkeit t^*

Daten für Maximalfarbe (Ma):
$LAB^*LAB^*_{Ma}$: 36 71 −3
$LAB^*LCH^*_{Ma}$: 36 72 357
$lab^*rgb^*_{Ma}$: 1.0 0.0 0.5
$lab^*olv^*_{Ma}$: 1.0 0.0 0.62
Dreiecks-Helligkeit t^*

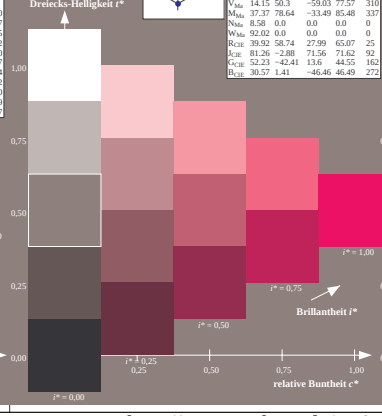

FRS09_92a; adaptierte CIELAB-Daten

	$L^*=L^*_a$	a^*_a	b^*_a	$C^*_{ab,a}$	$h^*_{ab,a}$
O_{Ma}	35.06	60.0	44.0	74.4	36
Y_{Ma}	83.77	−5.16	109.32	109.44	93
L_{Ma}	44.13	−62.66	48.24	79.09	142
C_{Ma}	52.66	−29.13	−31.98	43.27	228
V_{Ma}	14.15	50.3	−59.03	77.57	310
M_{Ma}	37.37	78.64	−33.49	85.48	337
N_{Ma}	8.58	0.0	0.0	0.0	0
W_{Ma}	92.02	0.0	0.0	0.0	0
R_{CIE}	39.92	58.74	27.99	65.07	25
J_{CIE}	81.26	−2.88	71.56	71.62	92
G_{CIE}	52.23	−42.41	13.6	44.55	162
B_{CIE}	30.57	1.41	−46.46	46.49	272

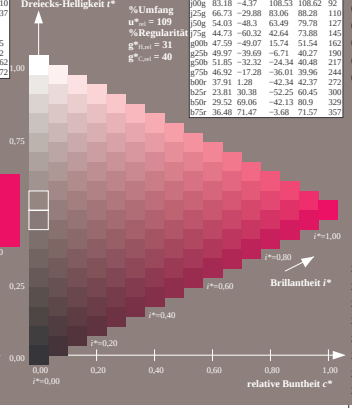

FRS09_92a; adaptierte CIELAB-Daten

	$L^*=L^*_a$	a^*_a	b^*_a	$C^*_{ab,a}$	$h^*_{ab,a}$
r00	35.47	63.32	30.17	70.15	25
r25j	39.12	54.56	49.45	73.64	42
r50j	50.64	39.15	64.89	75.79	59
r75j	64.01	21.26	82.83	85.52	76
j00g	83.18	−4.37	108.53	108.62	92
j25g	66.73	−29.88	83.06	88.28	110
j50g	54.03	−48.3	63.49	79.78	127
j75g	44.73	−60.32	42.64	73.88	145
g00b	47.59	−49.07	15.74	51.54	162
g25b	49.97	−39.69	−6.71	40.27	190
g50b	51.85	−32.32	−24.34	40.48	217
g75b	46.92	−17.28	−36.01	39.96	244
b00r	37.91	1.28	−42.34	42.37	272
b25r	23.81	30.38	−52.25	60.45	300
b50r	29.52	69.06	−42.13	80.9	329
b75r	36.48	71.47	−3.68	71.57	357

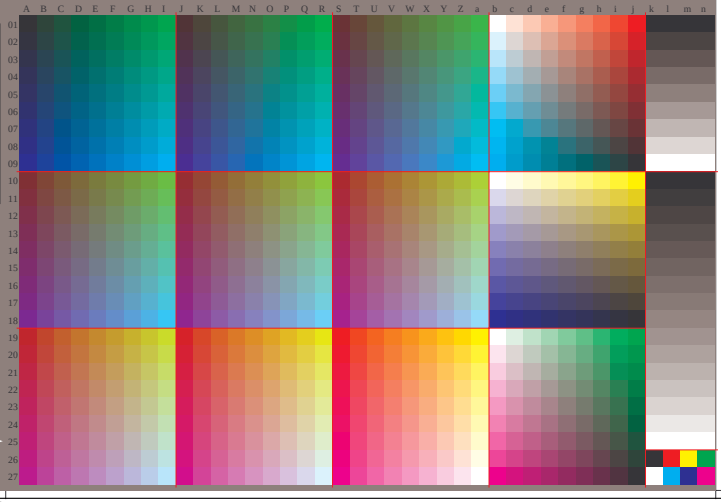

Ein und Ausgabe: Farbmetrisches Drucker-Reflektiv-System FRS09_92a für relativen CIELAB-Buntton $h^* = lab^*h^* = h_{ab}/360 = 162/360 = 0.451$

Daten für jede Farbe:
*lab*tch** und *lab*icu**
Elementar-Bunttontext:
u = g00b*
Kontrastreduzierungsfaktor:
$c_R = 1.0$
Dreiecks-Helligkeit *i**

Daten für Maximalfarbe (Ma):
*LAB*LAB**$_{Ma}$: 48 −48 16
*LAB*LCH**$_{Ma}$: 48 52 162
*lab*rgb**$_{Ma}$: 0.0 1.0 0.0
*lab*olv**$_{Ma}$: 0.0 1.0 0.41

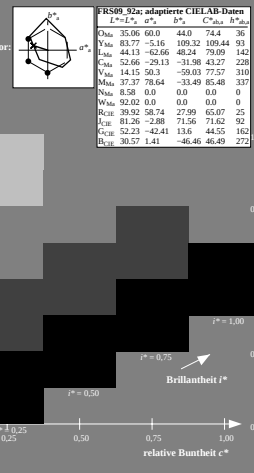

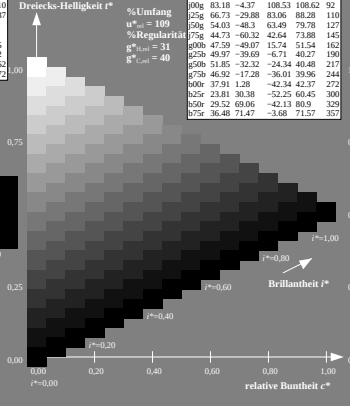

FRS09_92a; adaptierte CIELAB-Daten

	$L^*=L^*_s$	a^*_s	b^*_s	$C^*_{ab,s}$	$h^*_{ab,s}$
O_{Ma}	35.06	60.0	44.0	74.4	36
Y_{Ma}	83.77	−5.16	109.32	109.44	93
L_{Ma}	44.13	−62.66	48.24	79.09	142
C_{Ma}	52.66	−29.13	−31.98	43.27	228
V_{Ma}	14.15	50.3	−59.03	77.57	310
M_{Ma}	37.37	78.64	−33.49	85.48	337
N_{Ma}	8.58	0.0	0.0	0.0	0
W_{Ma}	92.02	0.0	0.0	0.0	0
R_{CIE}	39.92	58.74	27.99	65.07	25
J_{CIE}	81.26	−2.88	71.56	71.62	92
G_{CIE}	52.23	−42.41	13.6	44.55	162
B_{CIE}	30.57	1.41	−46.46	46.49	272

	$L^*=L^*_s$	a^*_s	b^*_s	$C^*_{ab,s}$	$h^*_{ab,s}$
r00j	35.47	63.32	30.17	70.15	25
r25j	39.12	54.56	49.45	73.64	42
r50j	50.64	39.15	64.89	75.79	59
r75j	64.01	21.26	82.83	85.52	76
j00g	83.18	−4.37	108.53	108.62	92
j25g	66.73	−29.88	83.06	88.28	110
j50g	54.03	−48.3	63.49	79.78	127
j75g	44.73	−60.32	42.64	73.88	145
g00b	47.59	−49.07	15.74	51.54	162
g25b	49.97	−39.69	−6.71	40.27	190
g50b	51.85	−32.32	−24.34	40.48	217
g75b	46.92	−17.28	−36.01	39.96	244
b00r	37.91	1.28	−42.34	42.37	272
b25r	23.81	30.38	−52.25	60.45	300
b50r	29.52	69.06	−42.13	80.9	329
b75r	36.48	71.47	−3.68	71.57	357

Ein und Ausgabe: Farbmetrisches Drucker-Reflektiv-System FRS09_92a für relativen CIELAB-Buntton $h^* = lab^*h^* = h_{ab}/360 = 190/360 = 0.527$

Daten für jede Farbe:
*lab*tch** und *lab*icu**
Elementar-Bunttontext:
u = g25b*
Kontrastreduzierungsfaktor:
$c_R = 1.0$
Dreiecks-Helligkeit *i**

Daten für Maximalfarbe (Ma):
*LAB*LAB**$_{Ma}$: 50 −39 −6
*LAB*LCH**$_{Ma}$: 50 40 190
*lab*rgb**$_{Ma}$: 0.0 1.0 0.5
*lab*olv**$_{Ma}$: 0.0 1.0 0.69

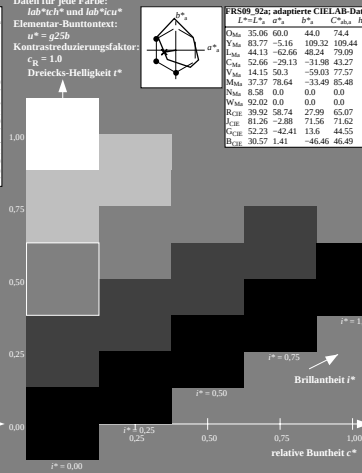

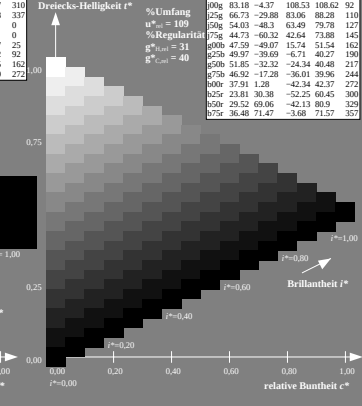

FRS09_92a; adaptierte CIELAB-Daten

	$L^*=L^*_s$	a^*_s	b^*_s	$C^*_{ab,s}$	$h^*_{ab,s}$
O_{Ma}	35.06	60.0	44.0	74.4	36
Y_{Ma}	83.77	−5.16	109.32	109.44	93
L_{Ma}	44.13	−62.66	48.24	79.09	142
C_{Ma}	52.66	−29.13	−31.98	43.27	228
V_{Ma}	14.15	50.3	−59.03	77.57	310
M_{Ma}	37.37	78.64	−33.49	85.48	337
N_{Ma}	8.58	0.0	0.0	0.0	0
W_{Ma}	92.02	0.0	0.0	0.0	0
R_{CIE}	39.92	58.74	27.99	65.07	25
J_{CIE}	81.26	−2.88	71.56	71.62	92
G_{CIE}	52.23	−42.41	13.6	44.55	162
B_{CIE}	30.57	1.41	−46.46	46.49	272

	$L^*=L^*_s$	a^*_s	b^*_s	$C^*_{ab,s}$	$h^*_{ab,s}$
r00j	35.47	63.32	30.17	70.15	25
r25j	39.12	54.56	49.45	73.64	42
r50j	50.64	39.15	64.89	75.79	59
r75j	64.01	21.26	82.83	85.52	76
j00g	83.18	−4.37	108.53	108.62	92
j25g	66.73	−29.88	83.06	88.28	110
j50g	54.03	−48.3	63.49	79.78	127
j75g	44.73	−60.32	42.64	73.88	145
g00b	47.59	−49.07	15.74	51.54	162
g25b	49.97	−39.69	−6.71	40.27	190
g50b	51.85	−32.32	−24.34	40.48	217
g75b	46.92	−17.28	−36.01	39.96	244
b00r	37.91	1.28	−42.34	42.37	272
b25r	23.81	30.38	−52.25	60.45	300
b50r	29.52	69.06	−42.13	80.9	329
b75r	36.48	71.47	−3.68	71.57	357

Ein und Ausgabe: Farbmetrisches Drucker-Reflektiv-System FRS09_92a für relativen CIELAB-Buntton $h^* = lab^*h^* = h_{ab}/360 = 217/360 = 0.603$

Daten für jede Farbe:
*lab*tch** und *lab*icu**
Elementar-Bunttontext:
u = g50b*
Kontrastreduzierungsfaktor:
$c_R = 1.0$
Dreiecks-Helligkeit *i**

Daten für Maximalfarbe (Ma):
*LAB*LAB**$_{Ma}$: 52 −31 −23
*LAB*LCH**$_{Ma}$: 52 40 217
*lab*rgb**$_{Ma}$: 0.0 1.0 1.0
*lab*olv**$_{Ma}$: 0.0 1.0 0.9

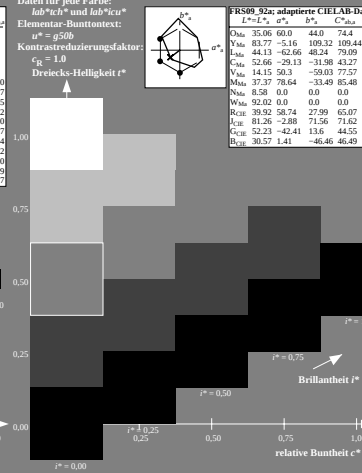

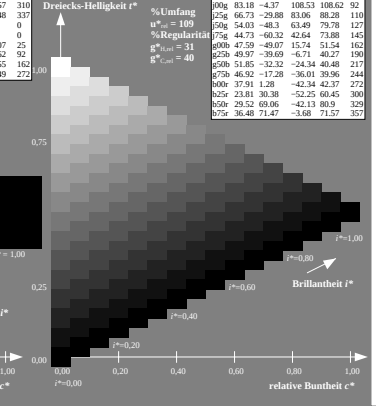

FRS09_92a; adaptierte CIELAB-Daten

	$L^*=L^*_s$	a^*_s	b^*_s	$C^*_{ab,s}$	$h^*_{ab,s}$
O_{Ma}	35.06	60.0	44.0	74.4	36
Y_{Ma}	83.77	−5.16	109.32	109.44	93
L_{Ma}	44.13	−62.66	48.24	79.09	142
C_{Ma}	52.66	−29.13	−31.98	43.27	228
V_{Ma}	14.15	50.3	−59.03	77.57	310
M_{Ma}	37.37	78.64	−33.49	85.48	337
N_{Ma}	8.58	0.0	0.0	0.0	0
W_{Ma}	92.02	0.0	0.0	0.0	0
R_{CIE}	39.92	58.74	27.99	65.07	25
J_{CIE}	81.26	−2.88	71.56	71.62	92
G_{CIE}	52.23	−42.41	13.6	44.55	162
B_{CIE}	30.57	1.41	−46.46	46.49	272

	$L^*=L^*_s$	a^*_s	b^*_s	$C^*_{ab,s}$	$h^*_{ab,s}$
r00j	35.47	63.32	30.17	70.15	25
r25j	39.12	54.56	49.45	73.64	42
r50j	50.64	39.15	64.89	75.79	59
r75j	64.01	21.26	82.83	85.52	76
j00g	83.18	−4.37	108.53	108.62	92
j25g	66.73	−29.88	83.06	88.28	110
j50g	54.03	−48.3	63.49	79.78	127
j75g	44.73	−60.32	42.64	73.88	145
g00b	47.59	−49.07	15.74	51.54	162
g25b	49.97	−39.69	−6.71	40.27	190
g50b	51.85	−32.32	−24.34	40.48	217
g75b	46.92	−17.28	−36.01	39.96	244
b00r	37.91	1.28	−42.34	42.37	272
b25r	23.81	30.38	−52.25	60.45	300
b50r	29.52	69.06	−42.13	80.9	329
b75r	36.48	71.47	−3.68	71.57	357

Ein und Ausgabe: Farbmetrisches Drucker-Reflektiv-System FRS09_92a für relativen CIELAB-Buntton $h^* = lab^*h^* = h_{ab}/360 = 244/360 = 0.679$

Daten für jede Farbe:
*lab*tch** und *lab*icu**
Elementar-Bunttontext:
u = g75b*
Kontrastreduzierungsfaktor:
$c_R = 1.0$
Dreiecks-Helligkeit *i**

Daten für Maximalfarbe (Ma):
*LAB*LAB**$_{Ma}$: 47 −16 −35
*LAB*LCH**$_{Ma}$: 47 40 244
*lab*rgb**$_{Ma}$: 0.0 0.5 1.0
*lab*olv**$_{Ma}$: 0.0 0.85 1.0

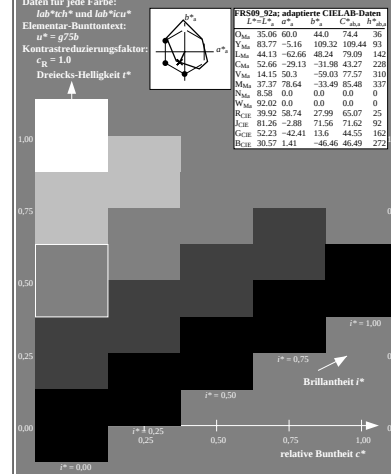

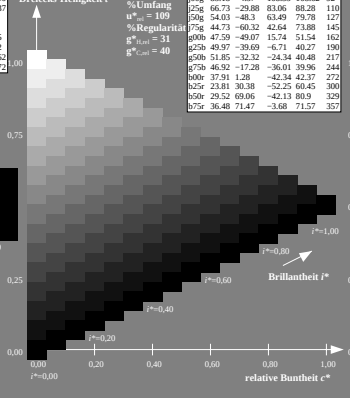

FRS09_92a; adaptierte CIELAB-Daten

	$L^*=L^*_s$	a^*_s	b^*_s	$C^*_{ab,s}$	$h^*_{ab,s}$
O_{Ma}	35.06	60.0	44.0	74.4	36
Y_{Ma}	83.77	−5.16	109.32	109.44	93
L_{Ma}	44.13	−62.66	48.24	79.09	142
C_{Ma}	52.66	−29.13	−31.98	43.27	228
V_{Ma}	14.15	50.3	−59.03	77.57	310
M_{Ma}	37.37	78.64	−33.49	85.48	337
N_{Ma}	8.58	0.0	0.0	0.0	0
W_{Ma}	92.02	0.0	0.0	0.0	0
R_{CIE}	39.92	58.74	27.99	65.07	25
J_{CIE}	81.26	−2.88	71.56	71.62	92
G_{CIE}	52.23	−42.41	13.6	44.55	162
B_{CIE}	30.57	1.41	−46.46	46.49	272

	$L^*=L^*_s$	a^*_s	b^*_s	$C^*_{ab,s}$	$h^*_{ab,s}$
r00j	35.47	63.32	30.17	70.15	25
r25j	39.12	54.56	49.45	73.64	42
r50j	50.64	39.15	64.89	75.79	59
r75j	64.01	21.26	82.83	85.52	76
j00g	83.18	−4.37	108.53	108.62	92
j25g	66.73	−29.88	83.06	88.28	110
j50g	54.03	−48.3	63.49	79.78	127
j75g	44.73	−60.32	42.64	73.88	145
g00b	47.59	−49.07	15.74	51.54	162
g25b	49.97	−39.69	−6.71	40.27	190
g50b	51.85	−32.32	−24.34	40.48	217
g75b	46.92	−17.28	−36.01	39.96	244
b00r	37.91	1.28	−42.34	42.37	272
b25r	23.81	30.38	−52.25	60.45	300
b50r	29.52	69.06	−42.13	80.9	329
b75r	36.48	71.47	−3.68	71.57	357

Ein und Ausgabe: Farbmetrisches Drucker-Reflektiv-System FRS09_92a für relativen CIELAB-Buntton $h^* = lab^*h^* = h_{ab}/360 = 272/360 = 0.755$

Daten für jede Farbe:
*lab*tch** und *lab*icu**
Elementar-Bunttontext:
u = b00r*
Kontrastreduzierungsfaktor:
$c_R = 1.0$
Dreiecks-Helligkeit *i**

Daten für Maximalfarbe (Ma):
*LAB*LAB**$_{Ma}$: 38 1 −41
*LAB*LCH**$_{Ma}$: 38 42 272
*lab*rgb**$_{Ma}$: 0.0 0.0 1.0
*lab*olv**$_{Ma}$: 0.0 0.62 1.0

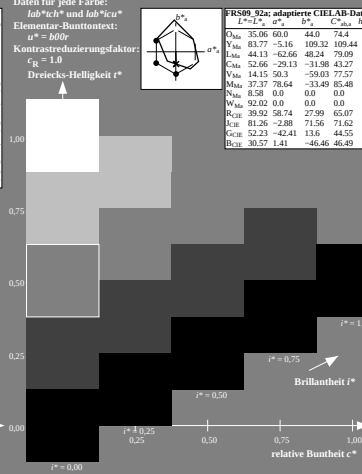

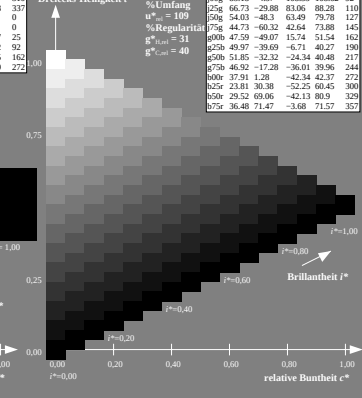

FRS09_92a; adaptierte CIELAB-Daten

	$L^*=L^*_s$	a^*_s	b^*_s	$C^*_{ab,s}$	$h^*_{ab,s}$
O_{Ma}	35.06	60.0	44.0	74.4	36
Y_{Ma}	83.77	−5.16	109.32	109.44	93
L_{Ma}	44.13	−62.66	48.24	79.09	142
C_{Ma}	52.66	−29.13	−31.98	43.27	228
V_{Ma}	14.15	50.3	−59.03	77.57	310
M_{Ma}	37.37	78.64	−33.49	85.48	337
N_{Ma}	8.58	0.0	0.0	0.0	0
W_{Ma}	92.02	0.0	0.0	0.0	0
R_{CIE}	39.92	58.74	27.99	65.07	25
J_{CIE}	81.26	−2.88	71.56	71.62	92
G_{CIE}	52.23	−42.41	13.6	44.55	162
B_{CIE}	30.57	1.41	−46.46	46.49	272

	$L^*=L^*_s$	a^*_s	b^*_s	$C^*_{ab,s}$	$h^*_{ab,s}$
r00j	35.47	63.32	30.17	70.15	25
r25j	39.12	54.56	49.45	73.64	42
r50j	50.64	39.15	64.89	75.79	59
r75j	64.01	21.26	82.83	85.52	76
j00g	83.18	−4.37	108.53	108.62	92
j25g	66.73	−29.88	83.06	88.28	110
j50g	54.03	−48.3	63.49	79.78	127
j75g	44.73	−60.32	42.64	73.88	145
g00b	47.59	−49.07	15.74	51.54	162
g25b	49.97	−39.69	−6.71	40.27	190
g50b	51.85	−32.32	−24.34	40.48	217
g75b	46.92	−17.28	−36.01	39.96	244
b00r	37.91	1.28	−42.34	42.37	272
b25r	23.81	30.38	−52.25	60.45	300
b50r	29.52	69.06	−42.13	80.9	329
b75r	36.48	71.47	−3.68	71.57	357

Ein und Ausgabe: Farbmetrisches Drucker-Reflektiv-System FRS09_92a für relativen CIELAB-Buntton $h^* = lab^*h^* = h_{ab}/360 = 300/360 = 0.834$

Daten für jede Farbe:
*lab*tch** und *lab*icu**
Elementar-Bunttontext:
u = b25r*
Kontrastreduzierungsfaktor:
$c_R = 1.0$
Dreiecks-Helligkeit *i**

Daten für Maximalfarbe (Ma):
*LAB*LAB**$_{Ma}$: 24 30 −51
*LAB*LCH**$_{Ma}$: 24 60 300
*lab*rgb**$_{Ma}$: 0.5 0.0 1.0
*lab*olv**$_{Ma}$: 0.0 0.25 1.0

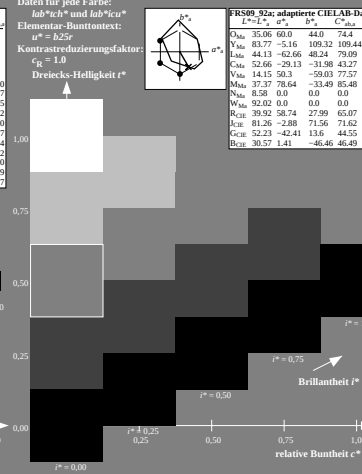

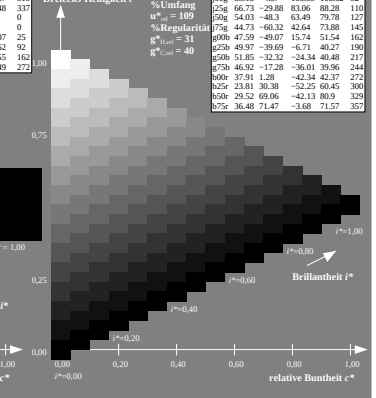

FRS09_92a; adaptierte CIELAB-Daten

	$L^*=L^*_s$	a^*_s	b^*_s	$C^*_{ab,s}$	$h^*_{ab,s}$
O_{Ma}	35.06	60.0	44.0	74.4	36
Y_{Ma}	83.77	−5.16	109.32	109.44	93
L_{Ma}	44.13	−62.66	48.24	79.09	142
C_{Ma}	52.66	−29.13	−31.98	43.27	228
V_{Ma}	14.15	50.3	−59.03	77.57	310
M_{Ma}	37.37	78.64	−33.49	85.48	337
N_{Ma}	8.58	0.0	0.0	0.0	0
W_{Ma}	92.02	0.0	0.0	0.0	0
R_{CIE}	39.92	58.74	27.99	65.07	25
J_{CIE}	81.26	−2.88	71.56	71.62	92
G_{CIE}	52.23	−42.41	13.6	44.55	162
B_{CIE}	30.57	1.41	−46.46	46.49	272

	$L^*=L^*_s$	a^*_s	b^*_s	$C^*_{ab,s}$	$h^*_{ab,s}$
r00j	35.47	63.32	30.17	70.15	25
r25j	39.12	54.56	49.45	73.64	42
r50j	50.64	39.15	64.89	75.79	59
r75j	64.01	21.26	82.83	85.52	76
j00g	83.18	−4.37	108.53	108.62	92
j25g	66.73	−29.88	83.06	88.28	110
j50g	54.03	−48.3	63.49	79.78	127
j75g	44.73	−60.32	42.64	73.88	145
g00b	47.59	−49.07	15.74	51.54	162
g25b	49.97	−39.69	−6.71	40.27	190
g50b	51.85	−32.32	−24.34	40.48	217
g75b	46.92	−17.28	−36.01	39.96	244
b00r	37.91	1.28	−42.34	42.37	272
b25r	23.81	30.38	−52.25	60.45	300
b50r	29.52	69.06	−42.13	80.9	329
b75r	36.48	71.47	−3.68	71.57	357

Ein und Ausgabe: Farbmetrisches Drucker-Reflektiv-System FRS09_92a für relativen CIELAB-Buntton $h^* = lab^*h^* = h_{ab}/360 = 329/360 = 0.913$

Daten für jede Farbe:
*lab*tch** und *lab*icu**
Elementar-Bunttontext:
u = b50r*
Kontrastreduzierungsfaktor:
$c_R = 1.0$
Dreiecks-Helligkeit *i**

Daten für Maximalfarbe (Ma):
*LAB*LAB**$_{Ma}$: 30 69 −41
*LAB*LCH**$_{Ma}$: 30 81 329
*lab*rgb**$_{Ma}$: 1.0 0.0 1.0
*lab*olv**$_{Ma}$: 0.66 0.0 1.0

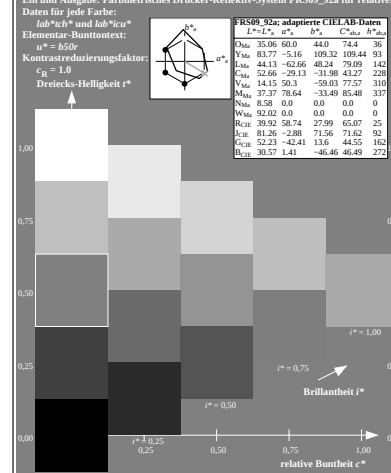

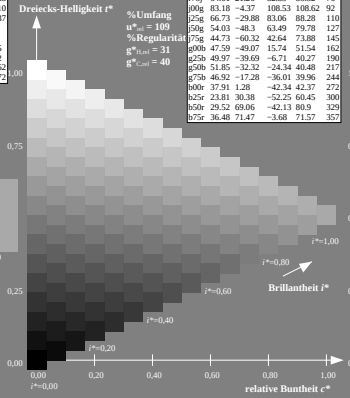

FRS09_92a; adaptierte CIELAB-Daten

	$L^*=L^*_s$	a^*_s	b^*_s	$C^*_{ab,s}$	$h^*_{ab,s}$
O_{Ma}	35.06	60.0	44.0	74.4	36
Y_{Ma}	83.77	−5.16	109.32	109.44	93
L_{Ma}	44.13	−62.66	48.24	79.09	142
C_{Ma}	52.66	−29.13	−31.98	43.27	228
V_{Ma}	14.15	50.3	−59.03	77.57	310
M_{Ma}	37.37	78.64	−33.49	85.48	337
N_{Ma}	8.58	0.0	0.0	0.0	0
W_{Ma}	92.02	0.0	0.0	0.0	0
R_{CIE}	39.92	58.74	27.99	65.07	25
J_{CIE}	81.26	−2.88	71.56	71.62	92
G_{CIE}	52.23	−42.41	13.6	44.55	162
B_{CIE}	30.57	1.41	−46.46	46.49	272

	$L^*=L^*_s$	a^*_s	b^*_s	$C^*_{ab,s}$	$h^*_{ab,s}$
r00j	35.47	63.32	30.17	70.15	25
r25j	39.12	54.56	49.45	73.64	42
r50j	50.64	39.15	64.89	75.79	59
r75j	64.01	21.26	82.83	85.52	76
j00g	83.18	−4.37	108.53	108.62	92
j25g	66.73	−29.88	83.06	88.28	110
j50g	54.03	−48.3	63.49	79.78	127
j75g	44.73	−60.32	42.64	73.88	145
g00b	47.59	−49.07	15.74	51.54	162
g25b	49.97	−39.69	−6.71	40.27	190
g50b	51.85	−32.32	−24.34	40.48	217
g75b	46.92	−17.28	−36.01	39.96	244
b00r	37.91	1.28	−42.34	42.37	272
b25r	23.81	30.38	−52.25	60.45	300
b50r	29.52	69.06	−42.13	80.9	329
b75r	36.48	71.47	−3.68	71.57	357

Ein und Ausgabe: Farbmetrisches Drucker-Reflektiv-System FRS09_92a für relativen CIELAB-Buntton $h^* = lab^*h^* = h_{ab}/360 = 357/360 = 0.992$

Daten für jede Farbe:
*lab*tch** und *lab*icu**
Elementar-Bunttontext:
u = b75r*
Kontrastreduzierungsfaktor:
$c_R = 1.0$
Dreiecks-Helligkeit *i**

Daten für Maximalfarbe (Ma):
*LAB*LAB**$_{Ma}$: 36 71 −3
*LAB*LCH**$_{Ma}$: 36 72 357
*lab*rgb**$_{Ma}$: 1.0 0.0 0.5
*lab*olv**$_{Ma}$: 1.0 0.0 0.62

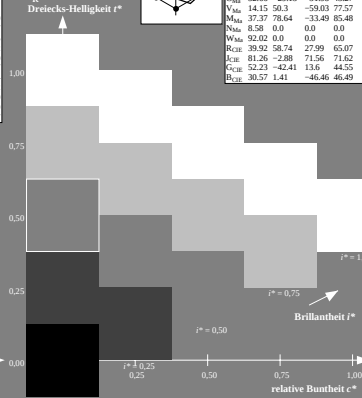

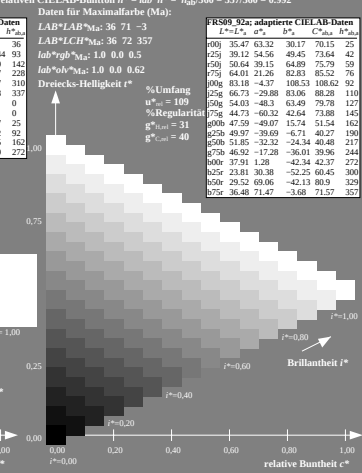

FRS09_92a; adaptierte CIELAB-Daten

	$L^*=L^*_s$	a^*_s	b^*_s	$C^*_{ab,s}$	$h^*_{ab,s}$
O_{Ma}	35.06	60.0	44.0	74.4	36
Y_{Ma}	83.77	−5.16	109.32	109.44	93
L_{Ma}	44.13	−62.66	48.24	79.09	142
C_{Ma}	52.66	−29.13	−31.98	43.27	228
V_{Ma}	14.15	50.3	−59.03	77.57	310
M_{Ma}	37.37	78.64	−33.49	85.48	337
N_{Ma}	8.58	0.0	0.0	0.0	0
W_{Ma}	92.02	0.0	0.0	0.0	0
R_{CIE}	39.92	58.74	27.99	65.07	25
J_{CIE}	81.26	−2.88	71.56	71.62	92
G_{CIE}	52.23	−42.41	13.6	44.55	162
B_{CIE}	30.57	1.41	−46.46	46.49	272

	$L^*=L^*_s$	a^*_s	b^*_s	$C^*_{ab,s}$	$h^*_{ab,s}$
r00j	35.47	63.32	30.17	70.15	25
r25j	39.12	54.56	49.45	73.64	42
r50j	50.64	39.15	64.89	75.79	59
r75j	64.01	21.26	82.83	85.52	76
j00g	83.18	−4.37	108.53	108.62	92
j25g	66.73	−29.88	83.06	88.28	110
j50g	54.03	−48.3	63.49	79.78	127
j75g	44.73	−60.32	42.64	73.88	145
g00b	47.59	−49.07	15.74	51.54	162
g25b	49.97	−39.69	−6.71	40.27	190
g50b	51.85	−32.32	−24.34	40.48	217
g75b	46.92	−17.28	−36.01	39.96	244
b00r	37.91	1.28	−42.34	42.37	272
b25r	23.81	30.38	−52.25	60.45	300
b50r	29.52	69.06	−42.13	80.9	329
b75r	36.48	71.47	−3.68	71.57	357

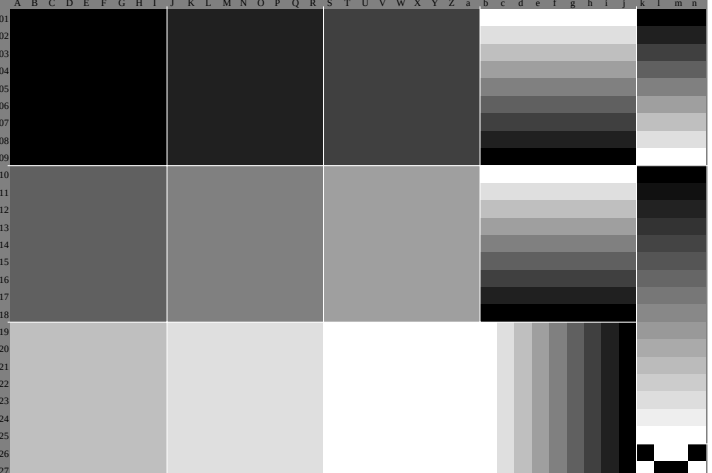

Ein und Ausgabe: Farbmetrisches Drucker-Reflektiv-System FRS09_92a für relativen CIELAB-Buntton $h^* = lab^*h^* = h_{ab}/360 = 162/360 = 0.451$

Daten für jede Farbe:
*lab*tch** und *lab*icu**
Elementar-Bunttontext:
u = g00b*
Kontrastreduzierungsfaktor:
$c_R = 1.0$
Dreiecks-Helligkeit t^*

Daten für Maximalfarbe (Ma):
*LAB*LAB**$_{Ma}$: 48 −48 16
*LAB*LCH**$_{Ma}$: 48 52 162
*lab*rgb**$_{Ma}$: 0.0 1.0 0.0
*lab*olv**$_{Ma}$: 0.0 1.0 0.41
Dreiecks-Helligkeit t^*

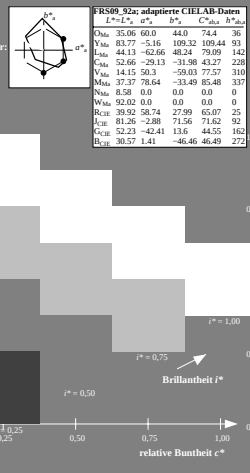

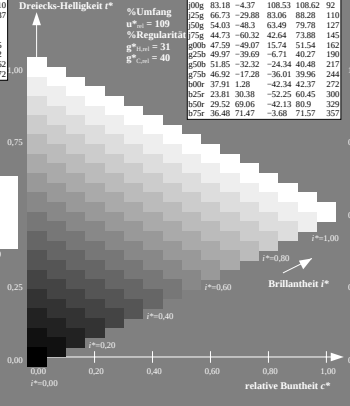

FRS09_92a; adaptierte CIELAB-Daten

	$L^*=L^*_a$	a^*_a	b^*_a	$C^*_{ab,a}$	$h^*_{ab,a}$
O_{Ma}	35.06	60.0	44.0	74.4	36
Y_{Ma}	83.77	−5.16	109.32	109.44	93
L_{Ma}	44.13	−62.66	48.24	79.09	142
C_{Ma}	52.66	−29.13	−31.98	43.27	228
V_{Ma}	14.15	50.3	−59.03	77.57	310
M_{Ma}	37.37	78.64	−33.49	85.48	337
N_{Ma}	8.58	0.0	0.0	0.0	0
W_{Ma}	92.02	0.0	0.0	0.0	0
R_{CIE}	39.92	58.74	27.99	65.07	25
J_{CIE}	81.26	−2.88	71.56	71.62	92
G_{CIE}	52.23	−42.41	13.6	44.55	162
B_{CIE}	30.57	1.41	−46.46	46.49	272

	$L^*=L^*_a$	a^*_a	b^*_a	$C^*_{ab,a}$	$h^*_{ab,a}$
r00j	35.47	63.32	30.17	70.15	25
r25j	39.12	54.56	49.45	73.64	42
r50j	50.64	39.15	64.89	75.79	59
r75j	64.01	21.26	82.83	85.52	76
j00g	83.18	−4.37	108.53	108.62	92
j25g	66.73	−29.88	83.06	88.28	110
j50g	54.03	−48.3	63.49	79.78	127
j75g	44.73	−60.32	42.64	73.88	145
g00b	47.59	−49.07	15.74	51.54	162
g25b	49.97	−39.69	−6.71	40.27	190
g50b	51.85	−32.32	−24.34	40.48	217
g75b	46.92	−17.28	−36.01	39.96	244
b00r	37.91	1.28	−42.34	42.37	272
b25r	23.81	30.38	−52.25	60.45	300
b50r	29.52	69.06	−42.13	80.9	329
b75r	36.48	71.47	−3.68	71.57	357

Ein und Ausgabe: Farbmetrisches Drucker-Reflektiv-System FRS09_92a für relativen CIELAB-Buntton $h^* = lab^*h^* = h_{ab}/360 = 190/360 = 0.527$

Daten für jede Farbe:
*lab*tch** und *lab*icu**
Elementar-Bunttontext:
u = g25b*
Kontrastreduzierungsfaktor:
$c_R = 1.0$
Dreiecks-Helligkeit t^*

Daten für Maximalfarbe (Ma):
*LAB*LAB**$_{Ma}$: 50 −39 −6
*LAB*LCH**$_{Ma}$: 50 40 190
*lab*rgb**$_{Ma}$: 0.0 1.0 0.5
*lab*olv**$_{Ma}$: 0.0 1.0 0.69
Dreiecks-Helligkeit t^*

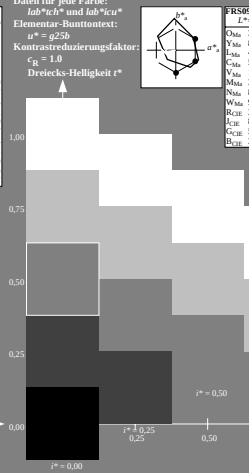

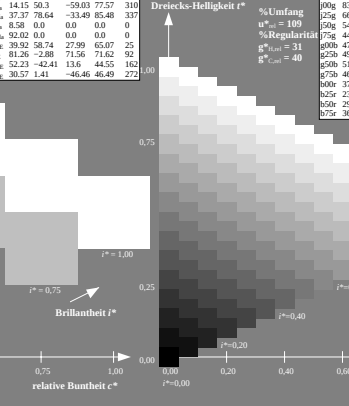

FRS09_92a; adaptierte CIELAB-Daten

	$L^*=L^*_a$	a^*_a	b^*_a	$C^*_{ab,a}$	$h^*_{ab,a}$
O_{Ma}	35.06	60.0	44.0	74.4	36
Y_{Ma}	83.77	−5.16	109.32	109.44	93
L_{Ma}	44.13	−62.66	48.24	79.09	142
C_{Ma}	52.66	−29.13	−31.98	43.27	228
V_{Ma}	14.15	50.3	−59.03	77.57	310
M_{Ma}	37.37	78.64	−33.49	85.48	337
N_{Ma}	8.58	0.0	0.0	0.0	0
W_{Ma}	92.02	0.0	0.0	0.0	0
R_{CIE}	39.92	58.74	27.99	65.07	25
J_{CIE}	81.26	−2.88	71.56	71.62	92
G_{CIE}	52.23	−42.41	13.6	44.55	162
B_{CIE}	30.57	1.41	−46.46	46.49	272

	$L^*=L^*_a$	a^*_a	b^*_a	$C^*_{ab,a}$	$h^*_{ab,a}$
r00j	35.47	63.32	30.17	70.15	25
r25j	39.12	54.56	49.45	73.64	42
r50j	50.64	39.15	64.89	75.79	59
r75j	64.01	21.26	82.83	85.52	76
j00g	83.18	−4.37	108.53	108.62	92
j25g	66.73	−29.88	83.06	88.28	110
j50g	54.03	−48.3	63.49	79.78	127
j75g	44.73	−60.32	42.64	73.88	145
g00b	47.59	−49.07	15.74	51.54	162
g25b	49.97	−39.69	−6.71	40.27	190
g50b	51.85	−32.32	−24.34	40.48	217
g75b	46.92	−17.28	−36.01	39.96	244
b00r	37.91	1.28	−42.34	42.37	272
b25r	23.81	30.38	−52.25	60.45	300
b50r	29.52	69.06	−42.13	80.9	329
b75r	36.48	71.47	−3.68	71.57	357

Ein und Ausgabe: Farbmetrisches Drucker-Reflektiv-System FRS09_92a für relativen CIELAB-Buntton $h^* = lab^*h^* = h_{ab}/360 = 217/360 = 0.603$

Daten für jede Farbe:
*lab*tch** und *lab*icu**
Elementar-Bunttontext:
u = g50b*
Kontrastreduzierungsfaktor:
$c_R = 1.0$
Dreiecks-Helligkeit t^*

Daten für Maximalfarbe (Ma):
*LAB*LAB**$_{Ma}$: 52 −31 −23
*LAB*LCH**$_{Ma}$: 52 40 217
*lab*rgb**$_{Ma}$: 0.0 1.0 1.0
*lab*olv**$_{Ma}$: 0.0 1.0 0.9
Dreiecks-Helligkeit t^*

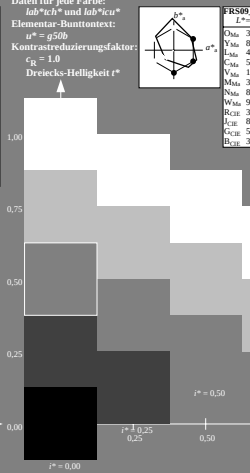

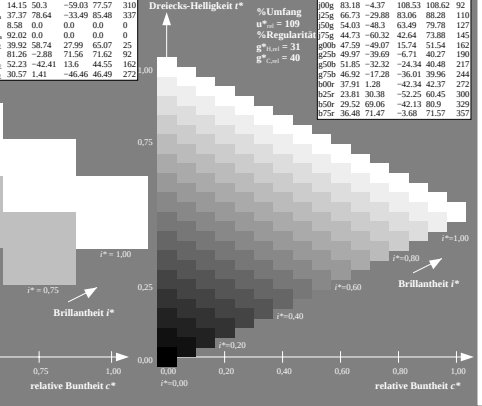

FRS09_92a; adaptierte CIELAB-Daten

	$L^*=L^*_a$	a^*_a	b^*_a	$C^*_{ab,a}$	$h^*_{ab,a}$
O_{Ma}	35.06	60.0	44.0	74.4	36
Y_{Ma}	83.77	−5.16	109.32	109.44	93
L_{Ma}	44.13	−62.66	48.24	79.09	142
C_{Ma}	52.66	−29.13	−31.98	43.27	228
V_{Ma}	14.15	50.3	−59.03	77.57	310
M_{Ma}	37.37	78.64	−33.49	85.48	337
N_{Ma}	8.58	0.0	0.0	0.0	0
W_{Ma}	92.02	0.0	0.0	0.0	0
R_{CIE}	39.92	58.74	27.99	65.07	25
J_{CIE}	81.26	−2.88	71.56	71.62	92
G_{CIE}	52.23	−42.41	13.6	44.55	162
B_{CIE}	30.57	1.41	−46.46	46.49	272

	$L^*=L^*_a$	a^*_a	b^*_a	$C^*_{ab,a}$	$h^*_{ab,a}$
r00j	35.47	63.32	30.17	70.15	25
r25j	39.12	54.56	49.45	73.64	42
r50j	50.64	39.15	64.89	75.79	59
r75j	64.01	21.26	82.83	85.52	76
j00g	83.18	−4.37	108.53	108.62	92
j25g	66.73	−29.88	83.06	88.28	110
j50g	54.03	−48.3	63.49	79.78	127
j75g	44.73	−60.32	42.64	73.88	145
g00b	47.59	−49.07	15.74	51.54	162
g25b	49.97	−39.69	−6.71	40.27	190
g50b	51.85	−32.32	−24.34	40.48	217
g75b	46.92	−17.28	−36.01	39.96	244
b00r	37.91	1.28	−42.34	42.37	272
b25r	23.81	30.38	−52.25	60.45	300
b50r	29.52	69.06	−42.13	80.9	329
b75r	36.48	71.47	−3.68	71.57	357

Ein und Ausgabe: Farbmetrisches Drucker-Reflektiv-System FRS09_92a für relativen CIELAB-Buntton $h^* = lab^*h^* = h_{ab}/360 = 244/360 = 0.679$

Daten für jede Farbe:
*lab*tch** und *lab*icu**
Elementar-Bunttontext:
u = g75b*
Kontrastreduzierungsfaktor:
$c_R = 1.0$
Dreiecks-Helligkeit t^*

Daten für Maximalfarbe (Ma):
*LAB*LAB**$_{Ma}$: 47 −16 −35
*LAB*LCH**$_{Ma}$: 47 40 244
*lab*rgb**$_{Ma}$: 0.0 0.5 1.0
*lab*olv**$_{Ma}$: 0.0 0.85 1.0
Dreiecks-Helligkeit t^*

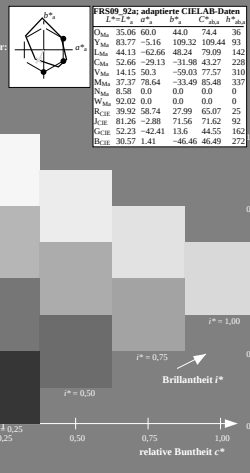

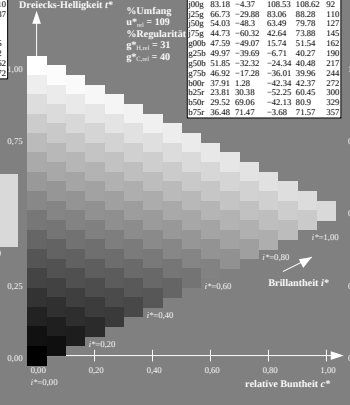

FRS09_92a; adaptierte CIELAB-Daten

	$L^*=L^*_a$	a^*_a	b^*_a	$C^*_{ab,a}$	$h^*_{ab,a}$
O_{Ma}	35.06	60.0	44.0	74.4	36
Y_{Ma}	83.77	−5.16	109.32	109.44	93
L_{Ma}	44.13	−62.66	48.24	79.09	142
C_{Ma}	52.66	−29.13	−31.98	43.27	228
V_{Ma}	14.15	50.3	−59.03	77.57	310
M_{Ma}	37.37	78.64	−33.49	85.48	337
N_{Ma}	8.58	0.0	0.0	0.0	0
W_{Ma}	92.02	0.0	0.0	0.0	0
R_{CIE}	39.92	58.74	27.99	65.07	25
J_{CIE}	81.26	−2.88	71.56	71.62	92
G_{CIE}	52.23	−42.41	13.6	44.55	162
B_{CIE}	30.57	1.41	−46.46	46.49	272

	$L^*=L^*_a$	a^*_a	b^*_a	$C^*_{ab,a}$	$h^*_{ab,a}$
r00j	35.47	63.32	30.17	70.15	25
r25j	39.12	54.56	49.45	73.64	42
r50j	50.64	39.15	64.89	75.79	59
r75j	64.01	21.26	82.83	85.52	76
j00g	83.18	−4.37	108.53	108.62	92
j25g	66.73	−29.88	83.06	88.28	110
j50g	54.03	−48.3	63.49	79.78	127
j75g	44.73	−60.32	42.64	73.88	145
g00b	47.59	−49.07	15.74	51.54	162
g25b	49.97	−39.69	−6.71	40.27	190
g50b	51.85	−32.32	−24.34	40.48	217
g75b	46.92	−17.28	−36.01	39.96	244
b00r	37.91	1.28	−42.34	42.37	272
b25r	23.81	30.38	−52.25	60.45	300
b50r	29.52	69.06	−42.13	80.9	329
b75r	36.48	71.47	−3.68	71.57	357

Ein und Ausgabe: Farbmetrisches Drucker-Reflektiv-System FRS09_92a für relativen CIELAB-Buntton $h^* = lab^*h^* = h_{ab}/360 = 272/360 = 0.755$

Daten für jede Farbe:
*lab*tch** und *lab*icu**
Elementar-Bunttontext:
u = b00r*
Kontrastreduzierungsfaktor:
$c_R = 1.0$
Dreiecks-Helligkeit t^*

Daten für Maximalfarbe (Ma):
*LAB*LAB**$_{Ma}$: 38 1 −41
*LAB*LCH**$_{Ma}$: 38 42 272
*lab*rgb**$_{Ma}$: 0.0 0.0 1.0
*lab*olv**$_{Ma}$: 0.0 0.62 1.0
Dreiecks-Helligkeit t^*

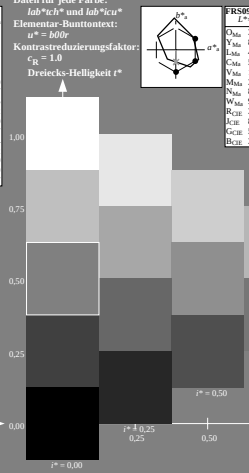

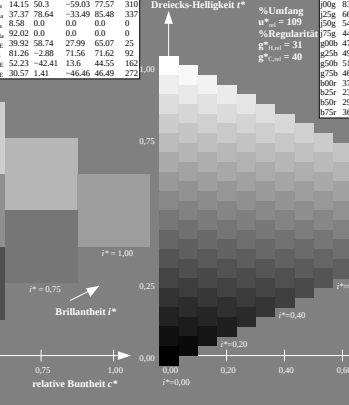

FRS09_92a; adaptierte CIELAB-Daten

	$L^*=L^*_a$	a^*_a	b^*_a	$C^*_{ab,a}$	$h^*_{ab,a}$
O_{Ma}	35.06	60.0	44.0	74.4	36
Y_{Ma}	83.77	−5.16	109.32	109.44	93
L_{Ma}	44.13	−62.66	48.24	79.09	142
C_{Ma}	52.66	−29.13	−31.98	43.27	228
V_{Ma}	14.15	50.3	−59.03	77.57	310
M_{Ma}	37.37	78.64	−33.49	85.48	337
N_{Ma}	8.58	0.0	0.0	0.0	0
W_{Ma}	92.02	0.0	0.0	0.0	0
R_{CIE}	39.92	58.74	27.99	65.07	25
J_{CIE}	81.26	−2.88	71.56	71.62	92
G_{CIE}	52.23	−42.41	13.6	44.55	162
B_{CIE}	30.57	1.41	−46.46	46.49	272

	$L^*=L^*_a$	a^*_a	b^*_a	$C^*_{ab,a}$	$h^*_{ab,a}$
r00j	35.47	63.32	30.17	70.15	25
r25j	39.12	54.56	49.45	73.64	42
r50j	50.64	39.15	64.89	75.79	59
r75j	64.01	21.26	82.83	85.52	76
j00g	83.18	−4.37	108.53	108.62	92
j25g	66.73	−29.88	83.06	88.28	110
j50g	54.03	−48.3	63.49	79.78	127
j75g	44.73	−60.32	42.64	73.88	145
g00b	47.59	−49.07	15.74	51.54	162
g25b	49.97	−39.69	−6.71	40.27	190
g50b	51.85	−32.32	−24.34	40.48	217
g75b	46.92	−17.28	−36.01	39.96	244
b00r	37.91	1.28	−42.34	42.37	272
b25r	23.81	30.38	−52.25	60.45	300
b50r	29.52	69.06	−42.13	80.9	329
b75r	36.48	71.47	−3.68	71.57	357

Ein und Ausgabe: Farbmetrisches Drucker-Reflektiv-System FRS09_92a für relativen CIELAB-Buntton $h^* = lab^*h^* = h_{ab}/360 = 300/360 = 0.834$

Daten für jede Farbe:
*lab*tch** und *lab*icu**
Elementar-Bunttontext:
u = b25r*
Kontrastreduzierungsfaktor:
$c_R = 1.0$
Dreiecks-Helligkeit t^*

Daten für Maximalfarbe (Ma):
*LAB*LAB**$_{Ma}$: 24 30 −51
*LAB*LCH**$_{Ma}$: 24 60 300
*lab*rgb**$_{Ma}$: 0.5 0.0 1.0
*lab*olv**$_{Ma}$: 0.0 0.25 1.0
Dreiecks-Helligkeit t^*

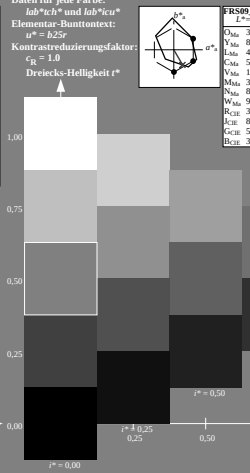

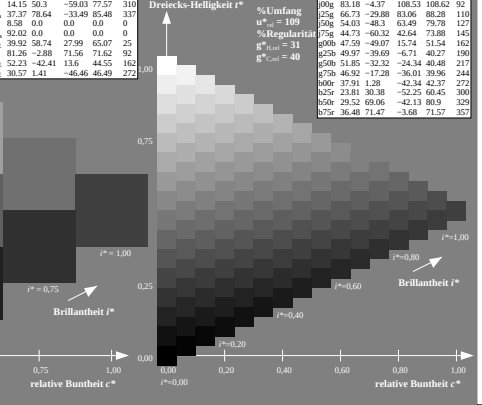

FRS09_92a; adaptierte CIELAB-Daten

	$L^*=L^*_a$	a^*_a	b^*_a	$C^*_{ab,a}$	$h^*_{ab,a}$
O_{Ma}	35.06	60.0	44.0	74.4	36
Y_{Ma}	83.77	−5.16	109.32	109.44	93
L_{Ma}	44.13	−62.66	48.24	79.09	142
C_{Ma}	52.66	−29.13	−31.98	43.27	228
V_{Ma}	14.15	50.3	−59.03	77.57	310
M_{Ma}	37.37	78.64	−33.49	85.48	337
N_{Ma}	8.58	0.0	0.0	0.0	0
W_{Ma}	92.02	0.0	0.0	0.0	0
R_{CIE}	39.92	58.74	27.99	65.07	25
J_{CIE}	81.26	−2.88	71.56	71.62	92
G_{CIE}	52.23	−42.41	13.6	44.55	162
B_{CIE}	30.57	1.41	−46.46	46.49	272

	$L^*=L^*_a$	a^*_a	b^*_a	$C^*_{ab,a}$	$h^*_{ab,a}$
r00j	35.47	63.32	30.17	70.15	25
r25j	39.12	54.56	49.45	73.64	42
r50j	50.64	39.15	64.89	75.79	59
r75j	64.01	21.26	82.83	85.52	76
j00g	83.18	−4.37	108.53	108.62	92
j25g	66.73	−29.88	83.06	88.28	110
j50g	54.03	−48.3	63.49	79.78	127
j75g	44.73	−60.32	42.64	73.88	145
g00b	47.59	−49.07	15.74	51.54	162
g25b	49.97	−39.69	−6.71	40.27	190
g50b	51.85	−32.32	−24.34	40.48	217
g75b	46.92	−17.28	−36.01	39.96	244
b00r	37.91	1.28	−42.34	42.37	272
b25r	23.81	30.38	−52.25	60.45	300
b50r	29.52	69.06	−42.13	80.9	329
b75r	36.48	71.47	−3.68	71.57	357

Ein und Ausgabe: Farbmetrisches Drucker-Reflektiv-System FRS09_92a für relativen CIELAB-Buntton $h^* = lab^*h^* = h_{ab}/360 = 329/360 = 0.913$

Daten für jede Farbe:
*lab*tch** und *lab*icu**
Elementar-Bunttontext:
u = b50r*
Kontrastreduzierungsfaktor:
$c_R = 1.0$
Dreiecks-Helligkeit t^*

Daten für Maximalfarbe (Ma):
*LAB*LAB**$_{Ma}$: 30 69 −41
*LAB*LCH**$_{Ma}$: 30 81 329
*lab*rgb**$_{Ma}$: 1.0 0.0 1.0
*lab*olv**$_{Ma}$: 0.66 0.0 1.0
Dreiecks-Helligkeit t^*

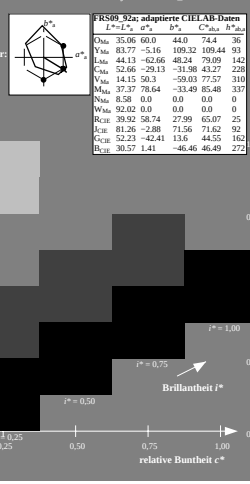

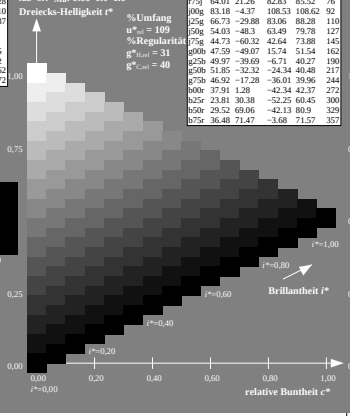

FRS09_92a; adaptierte CIELAB-Daten

	$L^*=L^*_a$	a^*_a	b^*_a	$C^*_{ab,a}$	$h^*_{ab,a}$
O_{Ma}	35.06	60.0	44.0	74.4	36
Y_{Ma}	83.77	−5.16	109.32	109.44	93
L_{Ma}	44.13	−62.66	48.24	79.09	142
C_{Ma}	52.66	−29.13	−31.98	43.27	228
V_{Ma}	14.15	50.3	−59.03	77.57	310
M_{Ma}	37.37	78.64	−33.49	85.48	337
N_{Ma}	8.58	0.0	0.0	0.0	0
W_{Ma}	92.02	0.0	0.0	0.0	0
R_{CIE}	39.92	58.74	27.99	65.07	25
J_{CIE}	81.26	−2.88	71.56	71.62	92
G_{CIE}	52.23	−42.41	13.6	44.55	162
B_{CIE}	30.57	1.41	−46.46	46.49	272

	$L^*=L^*_a$	a^*_a	b^*_a	$C^*_{ab,a}$	$h^*_{ab,a}$
r00j	35.47	63.32	30.17	70.15	25
r25j	39.12	54.56	49.45	73.64	42
r50j	50.64	39.15	64.89	75.79	59
r75j	64.01	21.26	82.83	85.52	76
j00g	83.18	−4.37	108.53	108.62	92
j25g	66.73	−29.88	83.06	88.28	110
j50g	54.03	−48.3	63.49	79.78	127
j75g	44.73	−60.32	42.64	73.88	145
g00b	47.59	−49.07	15.74	51.54	162
g25b	49.97	−39.69	−6.71	40.27	190
g50b	51.85	−32.32	−24.34	40.48	217
g75b	46.92	−17.28	−36.01	39.96	244
b00r	37.91	1.28	−42.34	42.37	272
b25r	23.81	30.38	−52.25	60.45	300
b50r	29.52	69.06	−42.13	80.9	329
b75r	36.48	71.47	−3.68	71.57	357

Ein und Ausgabe: Farbmetrisches Drucker-Reflektiv-System FRS09_92a für relativen CIELAB-Buntton $h^* = lab^*h^* = h_{ab}/360 = 357/360 = 0.992$

Daten für jede Farbe:
*lab*tch** und *lab*icu**
Elementar-Bunttontext:
u = b75r*
Kontrastreduzierungsfaktor:
$c_R = 1.0$
Dreiecks-Helligkeit t^*

Daten für Maximalfarbe (Ma):
*LAB*LAB**$_{Ma}$: 36 71 −3
*LAB*LCH**$_{Ma}$: 36 72 357
*lab*rgb**$_{Ma}$: 1.0 0.0 0.5
*lab*olv**$_{Ma}$: 1.0 0.0 0.62
Dreiecks-Helligkeit t^*

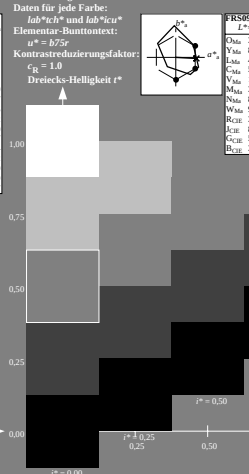

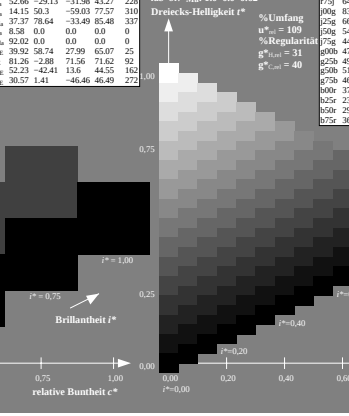

FRS09_92a; adaptierte CIELAB-Daten

	$L^*=L^*_a$	a^*_a	b^*_a	$C^*_{ab,a}$	$h^*_{ab,a}$
O_{Ma}	35.06	60.0	44.0	74.4	36
Y_{Ma}	83.77	−5.16	109.32	109.44	93
L_{Ma}	44.13	−62.66	48.24	79.09	142
C_{Ma}	52.66	−29.13	−31.98	43.27	228
V_{Ma}	14.15	50.3	−59.03	77.57	310
M_{Ma}	37.37	78.64	−33.49	85.48	337
N_{Ma}	8.58	0.0	0.0	0.0	0
W_{Ma}	92.02	0.0	0.0	0.0	0
R_{CIE}	39.92	58.74	27.99	65.07	25
J_{CIE}	81.26	−2.88	71.56	71.62	92
G_{CIE}	52.23	−42.41	13.6	44.55	162
B_{CIE}	30.57	1.41	−46.46	46.49	272

	$L^*=L^*_a$	a^*_a	b^*_a	$C^*_{ab,a}$	$h^*_{ab,a}$
r00j	35.47	63.32	30.17	70.15	25
r25j	39.12	54.56	49.45	73.64	42
r50j	50.64	39.15	64.89	75.79	59
r75j	64.01	21.26	82.83	85.52	76
j00g	83.18	−4.37	108.53	108.62	92
j25g	66.73	−29.88	83.06	88.28	110
j50g	54.03	−48.3	63.49	79.78	127
j75g	44.73	−60.32	42.64	73.88	145
g00b	47.59	−49.07	15.74	51.54	162
g25b	49.97	−39.69	−6.71	40.27	190
g50b	51.85	−32.32	−24.34	40.48	217
g75b	46.92	−17.28	−36.01	39.96	244
b00r	37.91	1.28	−42.34	42.37	272
b25r	23.81	30.38	−52.25	60.45	300
b50r	29.52	69.06	−42.13	80.9	329
b75r	36.48	71.47	−3.68	71.57	357

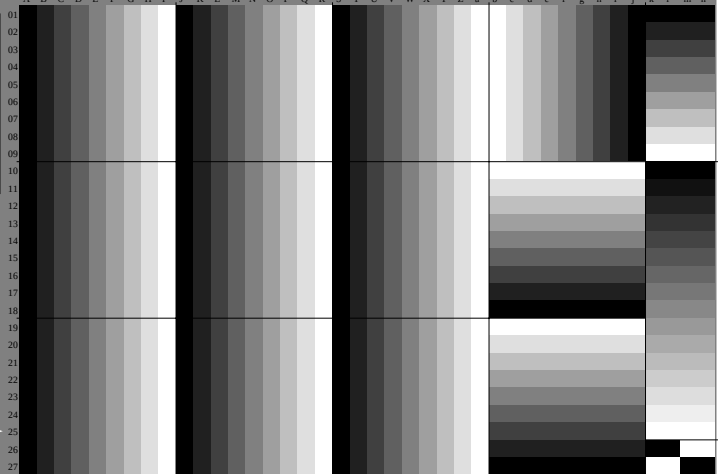

Ein und Ausgabe: Farbmetrisches Drucker-Reflektiv-System FRS09_92a für relativen CIELAB-Buntton $h^* = lab^*h^* = h_{ab}/360 = 162/360 = 0.451$

Daten für jede Farbe:
*lab*tch** und *lab*icu**
Elementar-Bunttontext:
u = g00b*
Kontrastreduzierungsfaktor:
$c_R = 1.0$
Dreiecks-Helligkeit t^*

Daten für Maximalfarbe (Ma):
*LAB*LAB**$_{Ma}$: 48 −48 16
*LAB*LCH**$_{Ma}$: 48 52 162
*lab*rgb**$_{Ma}$: 0.0 1.0 0.0
*lab*olv**$_{Ma}$: 0.0 1.0 0.41
Dreiecks-Helligkeit t^*

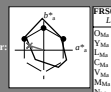

FRS09_92a; adaptierte CIELAB-Daten

	$L^*=L^*_a$	a^*_a	b^*_a	$C^*_{ab,a}$	$h^*_{ab,a}$
O_{Ma}	35.06	60.0	44.0	74.4	36
Y_{Ma}	83.77	−5.16	109.32	109.44	93
L_{Ma}	44.13	−62.66	48.24	79.09	142
C_{Ma}	52.66	−29.13	−31.98	43.27	228
V_{Ma}	14.15	50.3	−59.03	77.57	310
M_{Ma}	37.37	78.64	−33.49	85.48	337
N_{Ma}	8.58	0.0	0.0	0.0	0
W_{Ma}	92.02	0.0	0.0	0.0	0
R_{CIE}	39.92	58.74	27.99	65.07	25
J_{CIE}	81.26	−2.88	71.56	71.62	92
G_{CIE}	52.23	−42.41	13.6	44.55	162
B_{CIE}	30.57	1.41	−46.46	46.49	272

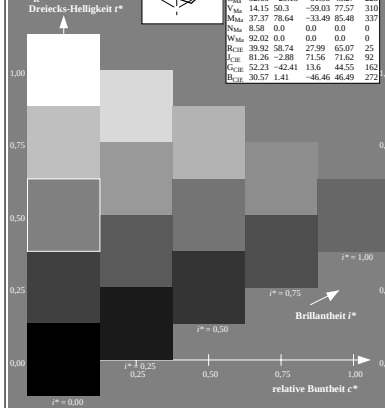

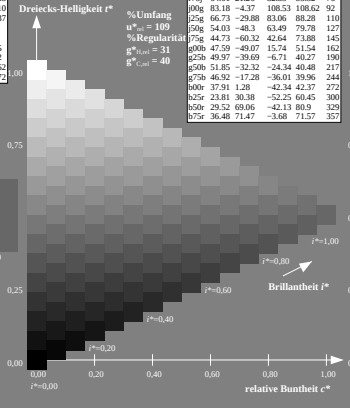

FRS09_92a; adaptierte CIELAB-Daten

	$L^*=L^*_a$	a^*_a	b^*_a	$C^*_{ab,a}$	$h^*_{ab,a}$
r00j	35.47	63.32	30.17	70.15	25
r25j	39.12	54.56	49.45	73.64	42
r50j	50.64	39.15	64.89	75.79	59
r75j	64.01	21.26	82.83	85.52	76
j00g	83.18	−4.37	108.53	108.62	92
j25g	66.73	−29.88	83.06	88.28	110
j50g	54.03	−48.3	63.49	79.78	127
j75g	44.73	−60.32	42.64	73.88	145
g00b	47.59	−49.07	15.74	51.54	162
g25b	49.97	−39.69	−6.71	40.27	190
g50b	51.85	−32.32	−24.34	40.48	217
g75b	46.92	−17.28	−36.01	39.96	244
b00r	37.91	1.28	−42.34	42.37	272
b25r	23.81	30.38	−52.25	60.45	300
b50r	29.52	69.06	−42.13	80.9	329
b75r	36.48	71.47	−3.68	71.57	357

Ein und Ausgabe: Farbmetrisches Drucker-Reflektiv-System FRS09_92a für relativen CIELAB-Buntton $h^* = lab^*h^* = h_{ab}/360 = 190/360 = 0.527$

Daten für jede Farbe:
*lab*tch** und *lab*icu**
Elementar-Bunttontext:
u = g25b*
Kontrastreduzierungsfaktor:
$c_R = 1.0$
Dreiecks-Helligkeit t^*

Daten für Maximalfarbe (Ma):
*LAB*LAB**$_{Ma}$: 50 −39 −6
*LAB*LCH**$_{Ma}$: 50 40 190
*lab*rgb**$_{Ma}$: 0.0 1.0 0.5
*lab*olv**$_{Ma}$: 0.0 1.0 0.69
Dreiecks-Helligkeit t^*

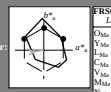

FRS09_92a; adaptierte CIELAB-Daten

	$L^*=L^*_a$	a^*_a	b^*_a	$C^*_{ab,a}$	$h^*_{ab,a}$
O_{Ma}	35.06	60.0	44.0	74.4	36
Y_{Ma}	83.77	−5.16	109.32	109.44	93
L_{Ma}	44.13	−62.66	48.24	79.09	142
C_{Ma}	52.66	−29.13	−31.98	43.27	228
V_{Ma}	14.15	50.3	−59.03	77.57	310
M_{Ma}	37.37	78.64	−33.49	85.48	337
N_{Ma}	8.58	0.0	0.0	0.0	0
W_{Ma}	92.02	0.0	0.0	0.0	0
R_{CIE}	39.92	58.74	27.99	65.07	25
J_{CIE}	81.26	−2.88	71.56	71.62	92
G_{CIE}	52.23	−42.41	13.6	44.55	162
B_{CIE}	30.57	1.41	−46.46	46.49	272

FRS09_92a; adaptierte CIELAB-Daten

	$L^*=L^*_a$	a^*_a	b^*_a	$C^*_{ab,a}$	$h^*_{ab,a}$
r00j	35.47	63.32	30.17	70.15	25
r25j	39.12	54.56	49.45	73.64	42
r50j	50.64	39.15	64.89	75.79	59
r75j	64.01	21.26	82.83	85.52	76
j00g	83.18	−4.37	108.53	108.62	92
j25g	66.73	−29.88	83.06	88.28	110
j50g	54.03	−48.3	63.49	79.78	127
j75g	44.73	−60.32	42.64	73.88	145
g00b	47.59	−49.07	15.74	51.54	162
g25b	49.97	−39.69	−6.71	40.27	190
g50b	51.85	−32.32	−24.34	40.48	217
g75b	46.92	−17.28	−36.01	39.96	244
b00r	37.91	1.28	−42.34	42.37	272
b25r	23.81	30.38	−52.25	60.45	300
b50r	29.52	69.06	−42.13	80.9	329
b75r	36.48	71.47	−3.68	71.57	357

Ein und Ausgabe: Farbmetrisches Drucker-Reflektiv-System FRS09_92a für relativen CIELAB-Buntton $h^* = lab^*h^* = h_{ab}/360 = 217/360 = 0.603$

Daten für jede Farbe:
*lab*tch** und *lab*icu**
Elementar-Bunttontext:
u = g50b*
Kontrastreduzierungsfaktor:
$c_R = 1.0$
Dreiecks-Helligkeit t^*

Daten für Maximalfarbe (Ma):
*LAB*LAB**$_{Ma}$: 52 −31 −23
*LAB*LCH**$_{Ma}$: 52 40 217
*lab*rgb**$_{Ma}$: 0.0 1.0 1.0
*lab*olv**$_{Ma}$: 0.0 1.0 0.9
Dreiecks-Helligkeit t^*

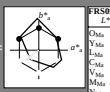

FRS09_92a; adaptierte CIELAB-Daten

	$L^*=L^*_a$	a^*_a	b^*_a	$C^*_{ab,a}$	$h^*_{ab,a}$
O_{Ma}	35.06	60.0	44.0	74.4	36
Y_{Ma}	83.77	−5.16	109.32	109.44	93
L_{Ma}	44.13	−62.66	48.24	79.09	142
C_{Ma}	52.66	−29.13	−31.98	43.27	228
V_{Ma}	14.15	50.3	−59.03	77.57	310
M_{Ma}	37.37	78.64	−33.49	85.48	337
N_{Ma}	8.58	0.0	0.0	0.0	0
W_{Ma}	92.02	0.0	0.0	0.0	0
R_{CIE}	39.92	58.74	27.99	65.07	25
J_{CIE}	81.26	−2.88	71.56	71.62	92
G_{CIE}	52.23	−42.41	13.6	44.55	162
B_{CIE}	30.57	1.41	−46.46	46.49	272

FRS09_92a; adaptierte CIELAB-Daten

	$L^*=L^*_a$	a^*_a	b^*_a	$C^*_{ab,a}$	$h^*_{ab,a}$
r00j	35.47	63.32	30.17	70.15	25
r25j	39.12	54.56	49.45	73.64	42
r50j	50.64	39.15	64.89	75.79	59
r75j	64.01	21.26	82.83	85.52	76
j00g	83.18	−4.37	108.53	108.62	92
j25g	66.73	−29.88	83.06	88.28	110
j50g	54.03	−48.3	63.49	79.78	127
j75g	44.73	−60.32	42.64	73.88	145
g00b	47.59	−49.07	15.74	51.54	162
g25b	49.97	−39.69	−6.71	40.27	190
g50b	51.85	−32.32	−24.34	40.48	217
g75b	46.92	−17.28	−36.01	39.96	244
b00r	37.91	1.28	−42.34	42.37	272
b25r	23.81	30.38	−52.25	60.45	300
b50r	29.52	69.06	−42.13	80.9	329
b75r	36.48	71.47	−3.68	71.57	357

Ein und Ausgabe: Farbmetrisches Drucker-Reflektiv-System FRS09_92a für relativen CIELAB-Buntton $h^* = lab^*h^* = h_{ab}/360 = 244/360 = 0.679$

Daten für jede Farbe:
*lab*tch** und *lab*icu**
Elementar-Bunttontext:
u = g75b*
Kontrastreduzierungsfaktor:
$c_R = 1.0$
Dreiecks-Helligkeit t^*

Daten für Maximalfarbe (Ma):
*LAB*LAB**$_{Ma}$: 47 −16 −35
*LAB*LCH**$_{Ma}$: 47 40 244
*lab*rgb**$_{Ma}$: 0.0 0.5 1.0
*lab*olv**$_{Ma}$: 0.0 0.85 1.0
Dreiecks-Helligkeit t^*

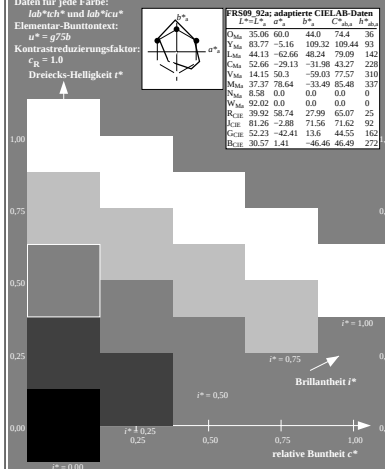

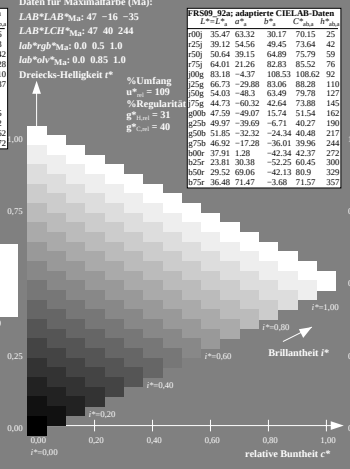

Ein und Ausgabe: Farbmetrisches Drucker-Reflektiv-System FRS09_92a für relativen CIELAB-Buntton $h^* = lab^*h^* = h_{ab}/360 = 272/360 = 0.755$

Daten für jede Farbe:
*lab*tch** und *lab*icu**
Elementar-Bunttontext:
u = b00r*
Kontrastreduzierungsfaktor:
$c_R = 1.0$
Dreiecks-Helligkeit t^*

Daten für Maximalfarbe (Ma):
*LAB*LAB**$_{Ma}$: 38 1 −41
*LAB*LCH**$_{Ma}$: 38 42 272
*lab*rgb**$_{Ma}$: 0.0 0.0 1.0
*lab*olv**$_{Ma}$: 0.0 0.62 1.0
Dreiecks-Helligkeit t^*

FRS09_92a; adaptierte CIELAB-Daten

	$L^*=L^*_a$	a^*_a	b^*_a	$C^*_{ab,a}$	$h^*_{ab,a}$
O_{Ma}	35.06	60.0	44.0	74.4	36
Y_{Ma}	83.77	−5.16	109.32	109.44	93
L_{Ma}	44.13	−62.66	48.24	79.09	142
C_{Ma}	52.66	−29.13	−31.98	43.27	228
V_{Ma}	14.15	50.3	−59.03	77.57	310
M_{Ma}	37.37	78.64	−33.49	85.48	337
N_{Ma}	8.58	0.0	0.0	0.0	0
W_{Ma}	92.02	0.0	0.0	0.0	0
R_{CIE}	39.92	58.74	27.99	65.07	25
J_{CIE}	81.26	−2.88	71.56	71.62	92
G_{CIE}	52.23	−42.41	13.6	44.55	162
B_{CIE}	30.57	1.41	−46.46	46.49	272

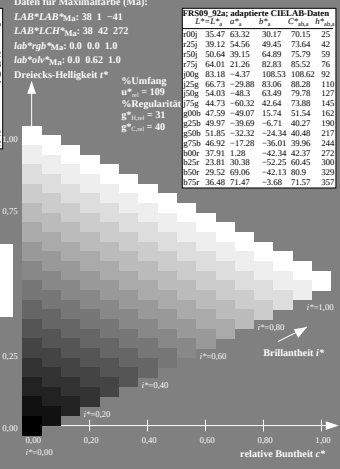

FRS09_92a; adaptierte CIELAB-Daten

	$L^*=L^*_a$	a^*_a	b^*_a	$C^*_{ab,a}$	$h^*_{ab,a}$
r00j	35.47	63.32	30.17	70.15	25
r25j	39.12	54.56	49.45	73.64	42
r50j	50.64	39.15	64.89	75.79	59
r75j	64.01	21.26	82.83	85.52	76
j00g	83.18	−4.37	108.53	108.62	92
j25g	66.73	−29.88	83.06	88.28	110
j50g	54.03	−48.3	63.49	79.78	127
j75g	44.73	−60.32	42.64	73.88	145
g00b	47.59	−49.07	15.74	51.54	162
g25b	49.97	−39.69	−6.71	40.27	190
g50b	51.85	−32.32	−24.34	40.48	217
g75b	46.92	−17.28	−36.01	39.96	244
b00r	37.91	1.28	−42.34	42.37	272
b25r	23.81	30.38	−52.25	60.45	300
b50r	29.52	69.06	−42.13	80.9	329
b75r	36.48	71.47	−3.68	71.57	357

Ein und Ausgabe: Farbmetrisches Drucker-Reflektiv-System FRS09_92a für relativen CIELAB-Buntton $h^* = lab^*h^* = h_{ab}/360 = 300/360 = 0.834$

Daten für jede Farbe:
*lab*tch** und *lab*icu**
Elementar-Bunttontext:
u = b25r*
Kontrastreduzierungsfaktor:
$c_R = 1.0$
Dreiecks-Helligkeit t^*

Daten für Maximalfarbe (Ma):
*LAB*LAB**$_{Ma}$: 24 30 −51
*LAB*LCH**$_{Ma}$: 24 60 300
*lab*rgb**$_{Ma}$: 0.5 0.0 1.0
*lab*olv**$_{Ma}$: 0.0 0.25 1.0
Dreiecks-Helligkeit t^*

FRS09_92a; adaptierte CIELAB-Daten

	$L^*=L^*_a$	a^*_a	b^*_a	$C^*_{ab,a}$	$h^*_{ab,a}$
O_{Ma}	35.06	60.0	44.0	74.4	36
Y_{Ma}	83.77	−5.16	109.32	109.44	93
L_{Ma}	44.13	−62.66	48.24	79.09	142
C_{Ma}	52.66	−29.13	−31.98	43.27	228
V_{Ma}	14.15	50.3	−59.03	77.57	310
M_{Ma}	37.37	78.64	−33.49	85.48	337
N_{Ma}	8.58	0.0	0.0	0.0	0
W_{Ma}	92.02	0.0	0.0	0.0	0
R_{CIE}	39.92	58.74	27.99	65.07	25
J_{CIE}	81.26	−2.88	71.56	71.62	92
G_{CIE}	52.23	−42.41	13.6	44.55	162
B_{CIE}	30.57	1.41	−46.46	46.49	272

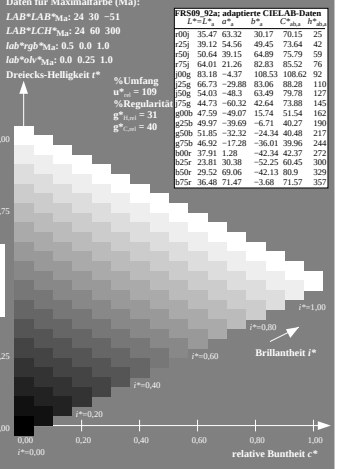

FRS09_92a; adaptierte CIELAB-Daten

	$L^*=L^*_a$	a^*_a	b^*_a	$C^*_{ab,a}$	$h^*_{ab,a}$
r00j	35.47	63.32	30.17	70.15	25
r25j	39.12	54.56	49.45	73.64	42
r50j	50.64	39.15	64.89	75.79	59
r75j	64.01	21.26	82.83	85.52	76
j00g	83.18	−4.37	108.53	108.62	92
j25g	66.73	−29.88	83.06	88.28	110
j50g	54.03	−48.3	63.49	79.78	127
j75g	44.73	−60.32	42.64	73.88	145
g00b	47.59	−49.07	15.74	51.54	162
g25b	49.97	−39.69	−6.71	40.27	190
g50b	51.85	−32.32	−24.34	40.48	217
g75b	46.92	−17.28	−36.01	39.96	244
b00r	37.91	1.28	−42.34	42.37	272
b25r	23.81	30.38	−52.25	60.45	300
b50r	29.52	69.06	−42.13	80.9	329
b75r	36.48	71.47	−3.68	71.57	357

Ein und Ausgabe: Farbmetrisches Drucker-Reflektiv-System FRS09_92a für relativen CIELAB-Buntton $h^* = lab^*h^* = h_{ab}/360 = 329/360 = 0.913$

Daten für jede Farbe:
*lab*tch** und *lab*icu**
Elementar-Bunttontext:
u = b50r*
Kontrastreduzierungsfaktor:
$c_R = 1.0$
Dreiecks-Helligkeit t^*

Daten für Maximalfarbe (Ma):
*LAB*LAB**$_{Ma}$: 30 69 −41
*LAB*LCH**$_{Ma}$: 30 81 329
*lab*rgb**$_{Ma}$: 1.0 0.0 1.0
*lab*olv**$_{Ma}$: 0.66 0.0 1.0
Dreiecks-Helligkeit t^*

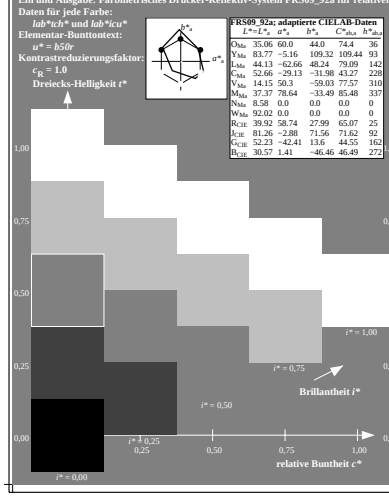

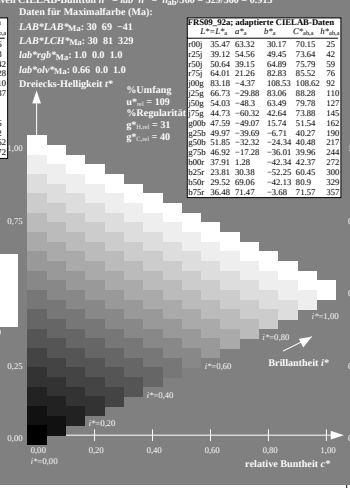

FRS09_92a; adaptierte CIELAB-Daten

	$L^*=L^*_a$	a^*_a	b^*_a	$C^*_{ab,a}$	$h^*_{ab,a}$
r00j	35.47	63.32	30.17	70.15	25
r25j	39.12	54.56	49.45	73.64	42
r50j	50.64	39.15	64.89	75.79	59
r75j	64.01	21.26	82.83	85.52	76
j00g	83.18	−4.37	108.53	108.62	92
j25g	66.73	−29.88	83.06	88.28	110
j50g	54.03	−48.3	63.49	79.78	127
j75g	44.73	−60.32	42.64	73.88	145
g00b	47.59	−49.07	15.74	51.54	162
g25b	49.97	−39.69	−6.71	40.27	190
g50b	51.85	−32.32	−24.34	40.48	217
g75b	46.92	−17.28	−36.01	39.96	244
b00r	37.91	1.28	−42.34	42.37	272
b25r	23.81	30.38	−52.25	60.45	300
b50r	29.52	69.06	−42.13	80.9	329
b75r	36.48	71.47	−3.68	71.57	357

Ein und Ausgabe: Farbmetrisches Drucker-Reflektiv-System FRS09_92a für relativen CIELAB-Buntton $h^* = lab^*h^* = h_{ab}/360 = 357/360 = 0.992$

Daten für jede Farbe:
*lab*tch** und *lab*icu**
Elementar-Bunttontext:
u = b75r*
Kontrastreduzierungsfaktor:
$c_R = 1.0$
Dreiecks-Helligkeit t^*

Daten für Maximalfarbe (Ma):
*LAB*LAB**$_{Ma}$: 36 71 −3
*LAB*LCH**$_{Ma}$: 36 72 357
*lab*rgb**$_{Ma}$: 1.0 0.0 0.5
*lab*olv**$_{Ma}$: 1.0 0.0 0.62
Dreiecks-Helligkeit t^*

FRS09_92a; adaptierte CIELAB-Daten

	$L^*=L^*_a$	a^*_a	b^*_a	$C^*_{ab,a}$	$h^*_{ab,a}$
O_{Ma}	35.06	60.0	44.0	74.4	36
Y_{Ma}	83.77	−5.16	109.32	109.44	93
L_{Ma}	44.13	−62.66	48.24	79.09	142
C_{Ma}	52.66	−29.13	−31.98	43.27	228
V_{Ma}	14.15	50.3	−59.03	77.57	310
M_{Ma}	37.37	78.64	−33.49	85.48	337
N_{Ma}	8.58	0.0	0.0	0.0	0
W_{Ma}	92.02	0.0	0.0	0.0	0
R_{CIE}	39.92	58.74	27.99	65.07	25
J_{CIE}	81.26	−2.88	71.56	71.62	92
G_{CIE}	52.23	−42.41	13.6	44.55	162
B_{CIE}	30.57	1.41	−46.46	46.49	272

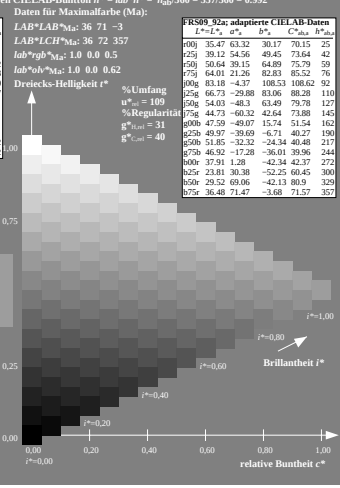

FRS09_92a; adaptierte CIELAB-Daten
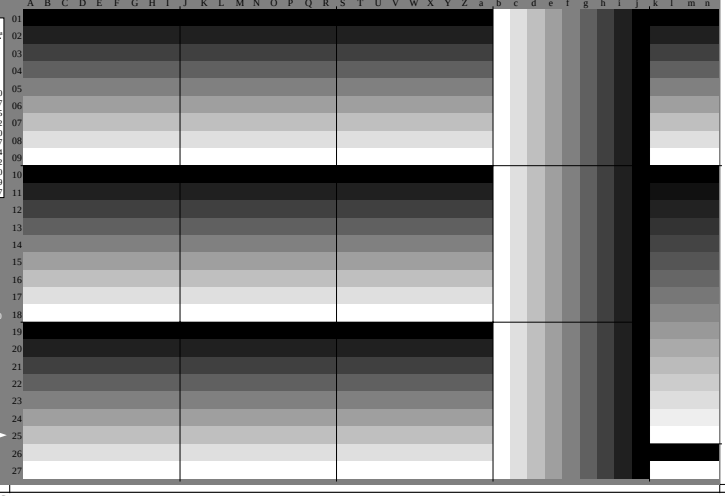
	$L^*=L^*_a$	a^*_a	b^*_a	$C^*_{ab,a}$	$h^*_{ab,a}$
r00j	35.47	63.32	30.17	70.15	25
r25j	39.12	54.56	49.45	73.64	42
r50j	50.64	39.15	64.89	75.79	59
r75j	64.01	21.26	82.83	85.52	76
j00g	83.18	−4.37	108.53	108.62	92
j25g	66.73	−29.88	83.06	88.28	110
j50g	54.03	−48.3	63.49	79.78	127
j75g	44.73	−60.32	42.64	73.88	145
g00b	47.59	−49.07	15.74	51.54	162
g25b	49.97	−39.69	−6.71	40.27	190
g50b	51.85	−32.32	−24.34	40.48	217
g75b	46.92	−17.28	−36.01	39.96	244
b00r	37.91	1.28	−42.34	42.37	272
b25r	23.81	30.38	−52.25	60.45	300
b50r	29.52	69.06	−42.13	80.9	329
b75r	36.48	71.47	−3.68	71.57	357